
QUELQUES ASPECTS DIOPHANTIENS DES VARIÉTÉS TORIQUES PROJECTIVES

par

Patrice Philippon & Martín Sombra

Résumé. — On présente plusieurs facettes des variétés toriques projectives, intéressantes du point de vue de la géométrie diophantienne. On montre comment la théorie s’explicité sur un certain nombre d’exemples significatifs et on établit également un théorème de type Bézout pour les poids de Chow des variétés projectives.

Abstract. — **Some diophantine aspects of projective toric varieties** : We present several faces of projective toric varieties, of interest from the point of view of diophantine geometry. We make explicit the theory on a number of meaningful examples and we also prove a Bézout type theorem for Chow weight of projective varieties.

Introduction

Les variétés toriques jouent un rôle important au carrefour de l’algèbre, la géométrie et la combinatoire. Elles fournissent une classe d’objets dont beaucoup d’invariants s’explicitent en termes combinatoires, et peuvent servir de variétés test pour diverses conjectures et théories abstraites dans de nombreuses branches des mathématiques : géométrie algébrique bien sûr, algèbre commutative, combinatoire, calcul formel, géométries symplectique et kählerienne, topologie, physique mathématique, . . ., voir par exemple [Ful93], [GKZ94], [Stu96], [Aud91], [Don02], [Cox01].

Les variétés toriques projectives sont les compactifications équivariantes des translatés de sous-groupes algébriques des tores multiplicatifs \mathbf{G}_m^N , $N \in \mathbf{N}^\times$. Ainsi, du point de vue de la géométrie diophantienne ces variétés se trouvent à la croisée des problèmes de Lehmer et Bogomolov. On sait en effet que les minorations pour la hauteur normalisée (voir ci-dessous) de ces variétés lorsqu’elles ne sont pas de torsion, c.-à-d. pas translatée par un point de torsion, sont de nature fondamentalement arithmétique (dépendant essentiellement du corps de définition de la variété), contrairement aux sous-variétés de \mathbf{G}_m^N qui ne sont pas translatées de sous-groupes algébriques, voir [AD02], [AD04], [Dav03]. D’un autre côté, R. Ferretti [Fer03]

Version du 23 mai 2019.

Classification mathématique par sujets (2000). — Primaire: 11G50; Secondaire: 14G40, 14M25.

Mots clefs. — Variété torique, hauteur normalisée, multihauteurs, fonction de Hilbert arithmétique, poids de Chow, volume mixte, indice d’obstruction, minimums successifs.

P. Philippon a été partiellement financé par une allocation de recherche de la *Fondation Alexander von Humboldt* pendant la réalisation de ce travail.

a exploité les variétés toriques afin de trouver des exemples d'applications nouvelles de l'extension du théorème du sous-espace aux variétés projectives, qu'il a établi avec J.-H. Evertse [EF02].

Dans [PS04], nous avons étudié assez précisément un des invariants arithmétiques les plus significatifs des variétés toriques, à savoir leur hauteur normalisée. Plus généralement, nous avons explicité quelques uns des aspects les plus importants de la théorie de l'intersection arithmétique, en parfait parallèle avec la théorie géométrique. En fait, nous avons relié plusieurs invariants arithmétiques à des analogues géométriques d'ordre supérieur. Grâce à cette approche il est possible de calculer explicitement ces diverses quantités pour n'importe quelle variété torique particulière et tester utilement des conjectures ou résultats.

Nous proposons dans le présent texte une introduction à l'étude des variétés toriques (§ IV et § V) débutée dans [PS04] ainsi que quelques applications à des problèmes d'origine diophantienne (§ II, § III, § VI, § VII).

Pour faciliter la lecture, nous avons également tressé dans le texte plusieurs paragraphes d'introduction aux variétés toriques (§ I), aux poids de Chow (§ IV), à la théorie de l'intersection multi-projective (§ I), ... Détaillons maintenant les passages les plus saillants de ce travail.

Soit $\mathcal{A} = (a_0, \dots, a_N) \in (\mathbf{Z}^n)^{N+1}$ une suite de $N + 1$ vecteurs de \mathbf{Z}^n , on considère l'action diagonale de \mathbf{G}_m^n sur \mathbf{P}^N

$$*_\mathcal{A} : \mathbf{G}_m^n \times \mathbf{P}^N \rightarrow \mathbf{P}^N \quad , \quad (s, x) \mapsto (s^{a_0} x_0 : \dots : s^{a_N} x_N) \ .$$

Et on s'intéresse à l'adhérence de Zariski des orbites de cette action ; pour un point $\alpha = (\alpha_0 : \dots : \alpha_N) \in \mathbf{P}^N$ on pose

$$X_{\mathcal{A}, \alpha} := \overline{\mathbf{G}_m^n *_\mathcal{A} \alpha} \subset \mathbf{P}^N$$

la *variété torique projective* associée au couple (\mathcal{A}, α) . Autrement-dit, $X_{\mathcal{A}, \alpha}$ est l'adhérence de Zariski de l'image de l'application monomiale

$$\varphi_{\mathcal{A}, \alpha} := *_\mathcal{A}|_\alpha : \mathbf{G}_m^n \rightarrow \mathbf{P}^N \quad , \quad s \mapsto (\alpha_0 s^{a_0} : \dots : \alpha_N s^{a_N}) \ .$$

C'est une variété torique projective au sens de [GKZ94], c.-à-d. une sous-variété de \mathbf{P}^N stable sous l'action d'un tore \mathbf{G}_m^n , avec une orbite dense $X_{\mathcal{A}, \alpha}^\circ := \mathbf{G}_m^n *_\mathcal{A} \alpha$.

Il est bien connu que les sous-variétés toriques de \mathbf{P}^N définies sur $\overline{\mathbf{Q}}$ (ou n'importe quel corps algébriquement clos) correspondent aux idéaux *binomiaux* premiers et homogènes de l'anneau $\overline{\mathbf{Q}}[x_0, \dots, x_N]$. De plus, les binômes engendrant l'idéal d'une variété torique $X_{\mathcal{A}, \alpha}$ s'explicitent en termes d'un \mathbf{Z} -module $\Gamma_{\mathcal{A}}$ naturellement associé au vecteur \mathcal{A} , voir paragraphe II pour les détails.

Dans ce paragraphe II on s'intéresse aux indices d'obstruction successifs des variétés toriques. Il s'agit des plus petits degrés de formes d'une suite sécante (soit globalement, soit dans un ouvert) découpant un ensemble algébrique ayant la variété comme composante.

On montre que le premier indice d'obstruction $\omega(X_{\mathcal{A}, \alpha})$ est égal au premier minimum de $\Gamma_{\mathcal{A}}$ par rapport à une métrique convenable. Plus généralement, on démontre que les indices d'obstruction successifs de cette variété relatifs à l'ouvert $(\mathbf{P}^N)^\circ$, sont les minimums successifs de ce \mathbf{Z} -module et qu'ils se réalisent par des équations binomiales (Proposition II.4). Via ce résultat, le deuxième théorème de Minkowski se traduit en des estimations pour le produit des indices d'obstruction successifs, qui précisent dans le cas torique les estimations de M. Chardin [Cha89] et [CP99].

En fait, le réseau $\Gamma_{\mathcal{A}}$ s'identifie au réseau des périodes de l'application exponentielle restreinte à l'espace tangent en l'origine de $X_{\mathcal{A}}^{\circ}$. On retrouve ainsi au paragraphe III certains des résultats de [BP88] reliant degré et multi-degrés d'un sous-groupe algébrique d'un tore multiplicatif au volume de son réseau des périodes et à la hauteur de son espace tangent.

D'un autre côté, on définit les *minimums successifs algébriques (normalisés)* d'une variété projective X par

$$\hat{\mu}_i(X) := \sup_{\text{codim}_X(Y)=i} \sup\{\hat{h}(x); x \in (X \setminus Y)(\overline{\mathbf{Q}})\}$$

pour Y parcourant l'ensemble des sous-variétés algébriques de codimension i dans X et $i = 1, \dots, \dim(X) + 1$. On note $\hat{\mu}^{ess}(X) = \hat{\mu}_1(X)$ et $\hat{\mu}^{abs}(X) = \hat{\mu}_{\dim(X)+1}(X)$. Un théorème de S. Zhang [Zha95] énonce

$$(\hat{\mu}_1(X) + \dots + \hat{\mu}_{\dim(X)+1}(X)) \deg(X) \leq \hat{h}(X) \leq (\dim(X) + 1)\hat{\mu}_1(X) \deg(X) .$$

Nous montrons par des exemples de variétés toriques au paragraphe VI que ces inégalités peuvent être des égalités et donc que l'encadrement ci-dessus est optimal en toute dimension.

Soit maintenant $X \subset \mathbf{P}^N$ une variété de dimension n et $\tau = (\tau_0, \dots, \tau_N) \in \mathbf{R}^{N+1}$ un vecteur *poids*. Considérons la *forme de Chow* $Ch_X \in \overline{\mathbf{Q}}[U_0, \dots, U_n]$ de X et t une variable additionnelle; on écrit alors $(U_i = (u_{i,0}, \dots, u_{i,N}), i = 0, \dots, n)$

$$Ch_X(t^{\tau_j} u_{i,j} : 0 \leq i \leq n, 0 \leq j \leq N) = t^{e_0} F_0 + \dots + t^{e_M} F_M$$

avec $e_0 \geq \dots \geq e_M$ et $F_0, \dots, F_M \in \overline{\mathbf{Q}}[U_0, \dots, U_n]$.

Définition 0.1. — Dans les notations ci-dessus, le poids de Chow relatif à τ (ou τ -poids de Chow) de X est

$$e_{\tau}(X) := e_0 \in \mathbf{Z}\tau_0 + \dots + \mathbf{Z}\tau_N .$$

Le poids de Chow a été introduit par D. Mumford [Mum77] en relation avec la stabilité des variétés projectives. On le retrouve (et en particulier l'énoncé IV.3 du présent texte) dans un travail de S.K. Donaldson [Don02] montrant la relation entre stabilité des variétés toriques projectives et existence de métrique kählerienne à courbure constante. Il apparait également en géométrie diophantienne au travers des travaux de Ferretti [Fer03], Evertse et Ferretti [EF02] et [PS04].

Fixons $\tau \in \mathbf{Z}^{N+1}$, considérons l'action du sous-groupe à un paramètre

$$*_\tau : \mathbf{G}_m \times \mathbf{P}^N \rightarrow \mathbf{P}^N , \quad (t, (x_0 : \dots : x_N)) \mapsto (t^{\tau_0} x_0 : \dots : t^{\tau_N} x_N)$$

et la *déformation torique* X_τ de X associée, définie comme l'adhérence de Zariski de l'ensemble

$$\{((1 : t), t *_\tau X) : t \in \mathbf{G}_m, x \in X\} \subset \mathbf{P}^1 \times \mathbf{P}^N .$$

La *variété initiale* de X relative au poids $\tau \in \mathbf{Z}^{N+1}$ est alors définie par

$$\text{init}_{\tau}(X) := \iota^*(X_\tau \cdot (\{(0 : 1)\} \times \mathbf{P}^N)) \in Z_n(\mathbf{P}^N) ,$$

où $\iota : \mathbf{P}^N \rightarrow \mathbf{P}^1 \times \mathbf{P}^N$ désigne l'inclusion $(x_0 : \dots : x_N) \mapsto ((0 : 1), (x_0 : \dots : x_N))$. Autrement-dit, $\text{init}_{\tau}(X)$ est le *cycle limite* $\lim_{t \rightarrow \infty} t *_\tau X$ de X sous l'action $*_{\tau}$. C'est un cycle de même dimension et degré que X .

On montre au paragraphe IV que lorsque $\tau \in \mathbf{N}^{N+1}$, le poids de Chow relatif à τ s'interprète comme un bi-degré d'une variante de la déformation torique ci-dessus et se comporte donc comme une hauteur, voir le paragraphe IV pour les détails. Comme conséquence de cette interprétation on démontre un théorème de Bézout pour le poids de Chow qui précise la majoration obtenue par Ferretti [Fer03, Prop. 4.3].

Théorème 0.2. — Soit $X \subset \mathbf{P}^N$ une variété projective et $H \in \text{Div}(\mathbf{P}^N)$ un diviseur ne contenant pas X , alors pour $\tau \in \mathbf{Z}^{N+1}$ on a

$$e_\tau(X \cdot H) = e_\tau(X) \deg(H) + e_\tau(H) \deg(X) - (\tau_0 + \cdots + \tau_N) \deg(H) \deg(X) \\ - \sum_{Y \in \text{Irr}(\text{init}_\tau(X))} m(X_\tau \cdot H_\tau; \iota(Y)) \deg(Y)$$

où la somme porte sur les composantes irréductibles de $\text{init}_\tau(X)$.

En particulier, on a pour tout $\tau \in \mathbf{R}^{N+1}$ et si H est effectif

$$e_\tau(X \cdot H) \leq e_\tau(X) \deg(H) + e_\tau(H) \deg(X) - (\tau_0 + \cdots + \tau_N) \deg(H) \deg(X) ,$$

avec égalité si et seulement si les variétés initiales de X et H s'intersectent proprement.

Suivant l'attitude générale adoptée dans ce texte nous écrivons également au paragraphe VII ce théorème en termes combinatoires pour l'intersection d'une variété torique projective avec un diviseur monomial. On en déduit dans ce cas un théorème de Bézout pour la hauteur normalisée du cycle intersection (voir Corollaire VII.5).

Nota bene – Les paragraphes II à VI de ce texte doivent pouvoir être lus de manière essentiellement indépendante.

Plan de l'article

Introduction	1
I. Généralités sur les variétés toriques projectives	4
II. Équations et indices d'obstruction successifs	9
III. Volumes, hauteurs d'espaces tangents et degrés	15
IV. Poids de Chow	17
V. Hauteurs normalisées	22
VI. Sur le théorème des minimums successifs	26
VII. Poids de Chow et hauteur des diviseurs monomiaux	30
Références	36

I. Généralités sur les variétés toriques projectives

On note $\mathbf{G}_m^n := (\overline{\mathbf{Q}}^\times)^n$ le tore algébrique et \mathbf{P}^N l'espace projectif sur $\overline{\mathbf{Q}}$, de dimension n et N respectivement. Une variété est toujours supposée réduite et irréductible. Pour une famille de polynômes homogènes $f_1, \dots, f_s \in \overline{\mathbf{Q}}[x_0, \dots, x_N]$ on pose $Z(f_1, \dots, f_s) \subset \mathbf{P}^N$ l'ensemble algébrique qu'elle définit. Et pour un ensemble algébrique $Z \subset \mathbf{P}^N$ on pose $I(Z)$ son idéal de définition dans $\overline{\mathbf{Q}}[x_0, \dots, x_N]$.

On note \mathbf{R}_+ et \mathbf{R}_+^\times les ensembles des nombres réels non-négatifs et positifs, respectivement. On note encore \mathbf{N} et \mathbf{N}^\times les entiers naturels avec et sans 0, respectivement. Pour $N, D \in \mathbf{N}$ on pose $\mathbf{N}_D^{N+1} := \{a \in \mathbf{N}^{N+1} : a_0 + \cdots + a_N = D\}$.

Dans ce paragraphe on donne un aperçu des propriétés de base des variétés toriques, nos références sont [GKZ94], [Ful93], [Cox01].

Soit $\mathcal{A} = (a_0, \dots, a_N) \in (\mathbf{Z}^n)^{N+1}$ une suite de $N + 1$ vecteurs de \mathbf{Z}^n , on considère l'action diagonale de \mathbf{G}_m^n sur \mathbf{P}^N

$$*_\mathcal{A} : \mathbf{G}_m^n \times \mathbf{P}^N \rightarrow \mathbf{P}^N, \quad (s, x) \mapsto (s^{a_0} x_0 : \dots : s^{a_N} x_N),$$

et pour $\alpha = (\alpha_0 : \dots : \alpha_N) \in \mathbf{P}^N$ on pose

$$X_{\mathcal{A}, \alpha} := \overline{\mathbf{G}_m^n *_\mathcal{A} \alpha} \subset \mathbf{P}^N$$

la *variété torique projective* associée au couple (\mathcal{A}, α) . C'est une variété torique projective au sens de [GKZ94], c.-à-d. une sous-variété de \mathbf{P}^N stable sous l'action d'un tore \mathbf{G}_m^n , avec une orbite dense $X_{\mathcal{A}, \alpha}^\circ := \mathbf{G}_m^n *_\mathcal{A} \alpha$.

Lorsque le point α est contenu dans un sous-espace standard $E \cong \mathbf{P}^M$ de \mathbf{P}^N , la sous-variété $X_{\mathcal{A}, \alpha}$ toute entière reste dans cet espace, puisque l'action $*_\mathcal{A}$ est diagonale. Quitte à se restreindre à un sous-espace standard, on peut donc supposer s.p.d.g. $\alpha \in (\mathbf{P}^N)^\circ := \mathbf{P}^N \setminus \{x_0 \cdots x_N = 0\}$ et on fixe désormais un système de coordonnées projectives de α dans \mathbf{G}_m^{N+1} .

On notera $X_\mathcal{A}$ la variété torique associée à $\mathcal{A} \in (\mathbf{Z}^n)^{N+1}$ et $(1, \dots, 1) \in \mathbf{G}_m^{N+1}$. Dans ce cas, l'orbite principale $X_\mathcal{A}^\circ$ est un sous-groupe du tore $\mathbf{G}_m^N \cong (\mathbf{P}^N)^\circ$; d'ailleurs tous les sous-groupes algébriques connexes de \mathbf{G}_m^N sont de cette forme. Dans le cas général, on a

$$X_{\mathcal{A}, \alpha}^\circ = \alpha \cdot X_\mathcal{A}^\circ$$

où \cdot désigne la multiplication dans \mathbf{G}_m^N , c.-à-d. que l'orbite principale de $X_{\mathcal{A}, \alpha}$ est le translaté d'un sous-groupe de \mathbf{G}_m^N .

Le couple (\mathcal{A}, α) peut s'interpréter comme une suite finie de monômes $\alpha_0 s^{a_0}, \dots, \alpha_N s^{a_N}$ de l'anneau des polynômes de Laurent $\overline{\mathbf{Q}}[s_1^{\pm 1}, \dots, s_n^{\pm 1}]$, on dit que les a_i sont les *exposants* et les α_i les *coefficients*. Posons $\text{Expo}(\mathcal{A}) := \{a_{i_0}, \dots, a_{i_M}\} \subset \mathbf{Z}^n$ l'ensemble des exposants *distincts* dans \mathcal{A} , alors $X_{\mathcal{A}, \alpha}$ et $X_{\text{Expo}(\mathcal{A})}$ sont linéairement isomorphes par l'application

$$\mathbf{P}^N \rightarrow \mathbf{P}^M, \quad (x_0 : \dots : x_N) \mapsto (\alpha_{i_0}^{-1} x_{i_0} : \dots : \alpha_{i_M}^{-1} x_{i_M}),$$

et donc leurs propriétés *géométriques* sont identiques. On peut ainsi, pour ces propriétés, se ramener au cas habituel où les a_i sont tous distincts et $\alpha_i = 1$ pour tout i . Soit $L_\mathcal{A} \subset \mathbf{Z}^n$ le sous-module engendré par les différences des vecteurs a_0, \dots, a_N , on a par exemple $\dim(X_{\mathcal{A}, \alpha}) = \dim(L_\mathcal{A})$ car $L_\mathcal{A} = L_{\text{Expo}(\mathcal{A})}$. On introduit encore le polytope $Q_\mathcal{A}$ enveloppe convexe dans \mathbf{R}^n des points de $\text{Expo}(\mathcal{A})$.

Lemme I.1. — Soient $\mathcal{A} = \{a_0, \dots, a_N\}$ et $\mathcal{B} = \{b_0, \dots, b_M\} \subset \mathbf{Z}^n$ des ensembles de cardinal $N + 1$ et $M + 1$ respectivement, avec $N \leq M$. Posons $\pi : \mathbf{P}^M \rightarrow \mathbf{P}^N$ la projection linéaire standard $(y_0 : \dots : y_M) \mapsto (y_0 : \dots : y_N)$, on a

(a) si $\mathcal{A} \subset \mathcal{B}$ alors $X_\mathcal{A} = \pi(X_\mathcal{B})$;

(b) si $Q_\mathcal{A} = Q_\mathcal{B}$ alors π est un morphisme régulier et fini (au sens des fibres), de degré $\deg(\pi) = [L_\mathcal{B} : L_\mathcal{A}]$. Si de plus $L_\mathcal{A} = L_\mathcal{B}$ alors π est un isomorphisme entre $X_\mathcal{B}^\circ$ et $X_\mathcal{A}^\circ$;

(c) si $Q_\mathcal{A} = Q_\mathcal{B} = Q$ et si pour toute face F de Q on a $L_{\mathcal{A} \cap F} = L_{\mathcal{B} \cap F}$, alors $\pi : X_\mathcal{B} \rightarrow X_\mathcal{A}$ est un isomorphisme.

Démonstration. — La partie (a) est conséquence directe des définitions. Pour les parties (b) et (c), l'hypothèse $Q_\mathcal{A} = Q_\mathcal{B} = Q$ entraîne que la projection π est compatible avec la décomposition en orbites (I.4) ci-dessous. Pour chaque face F de Q , $\pi : X_{\mathcal{B}, F}^\circ \rightarrow X_{\mathcal{A}, F}^\circ$ est une application monomiale de degré $[L_{\mathcal{B} \cap F} : \pi^*(L_{\mathcal{A} \cap F})] = [L_{\mathcal{B} \cap F} : L_{\mathcal{A} \cap F}]$, en particulier on voit que π est régulière à fibres finies (et de degré 1 entre $X_\mathcal{A}^\circ$ et $X_\mathcal{B}^\circ$ si $L_\mathcal{A} = L_\mathcal{B}$).

Dans (c), l'hypothèse $L_{\mathcal{B} \cap F} = L_{\mathcal{A} \cap F}$ entraîne déjà que π est une bijection. Pour chaque exposant $b_i \in \mathcal{B}$ considérons la face F de Q de dimension minimale contenant b_i . On écrit alors $b_i = \sum_{j: a_j \in \mathcal{A} \cap F} \lambda_{i,j} a_j$ avec $\lambda_{i,j} \in \mathbf{Z}$, $\sum_j \lambda_{i,j} = 0$. L'inverse est alors $X_{\mathcal{A}} \rightarrow X_{\mathcal{B}}$, $x \mapsto (x^{\lambda_0} : \dots : x^{\lambda_M})$. \square

Classiquement les variétés toriques sont construites à partir d'éventails, voir par exemple la présentation de [Ful93]. Rappelons qu'un éventail est un ensemble de cônes de sommet l'origine engendrés par un nombre fini de points de \mathbf{Z}^n , tels que toute face et toute intersection de cônes de l'éventail appartiennent encore à l'éventail. Dans les alinéa suivants on montre qu'un polytope entier $Q \subset \mathbf{R}^n$ détermine un éventail et donc une variété torique « au sens classique », qui est de plus munie d'un fibré en droites ample. Cette présentation est essentiellement tirée de [Cox01], [Ful93].

Supposons s.p.d.g. $\dim(Q) = n$, posons $F_i(Q)$ l'ensemble des faces de Q de dimension i et $F(Q) := \cup_{i=0}^n F_i(Q)$. Une face de codimension 1 sera encore appelée une *hyperface*. Pour chaque hyperface F de Q on considère le vecteur normal intérieur primitif $v_F \in \mathbf{Z}^n$ et nous notons

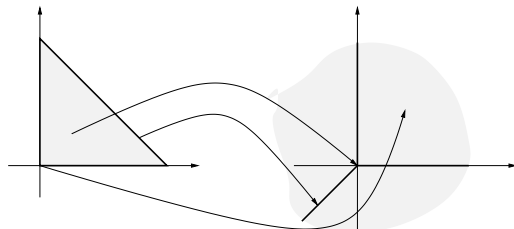
$$m_F := -\min(\langle x, v_F \rangle : x \in Q) \in \mathbf{Z} .$$

On peut aussi décrire Q comme l'intersection de demi-espaces

$$(I.1) \quad Q = \bigcap_{F \in F_{n-1}(Q)} \{x \in \mathbf{R}^n : \langle x, v_F \rangle \geq -m_F\} .$$

À chaque face P de Q on associe le cône σ_P engendré par les vecteurs v_F correspondant aux hyperfaces F contenant P ; on a $\dim(P) + \dim(\sigma_P) = n$. L'ensemble des cônes σ_P forme un éventail *complet* Σ de \mathbf{R}^n (on dit qu'un éventail est complet s'il recouvre \mathbf{R}^n).

La figure suivante montre la correspondance $P \mapsto \sigma_P$ entre faces de Q et cônes de Σ , pour $Q := \text{Conv}(0, e_1, e_2)$ le simplexe standard de \mathbf{R}^2 .



On note \mathcal{X}_Σ la variété torique (non plongée dans un espace projectif) définie par cet éventail. Pour chaque hyperface F de Q on note D_F le diviseur correspondant à la sous-variété torique associée à l'arête σ_F de Σ et on introduit un diviseur de Weil sur \mathcal{X}_Σ invariant sous l'action de \mathbf{G}_m^n

$$D_Q := \sum_{F \in F_{n-1}(Q)} m_F D_F ,$$

qui est en fait un diviseur de Cartier ample [Ful93, § 3.4]. Pour $a \in \mathbf{Z}^n$ on pose $\chi^a : \mathbf{G}_m^n \rightarrow \mathbf{G}_m, s \mapsto s^a$, qu'on considérera comme une fonction rationnelle sur \mathcal{X}_Σ . On a $\chi^a \in \Gamma(\mathcal{X}_\Sigma, \mathcal{O}(D_Q))$ si et seulement si $a \in Q$, et en fait

$$\Gamma(\mathcal{X}_\Sigma, \mathcal{O}(D_Q)) = \bigoplus_{a \in Q \cap \mathbf{Z}^n} \mathbf{C} \cdot \chi^a .$$

En posant finalement $\mathcal{A}_Q := Q \cap \mathbf{Z}^n = \{a_0, \dots, a_N\}$, on vérifie que l'application $\mathbf{G}_m^n \rightarrow \mathbf{P}^N, s \mapsto (s^{a_0}, \dots, s^{a_N})$ s'étend en un morphisme régulier $\mathcal{X}_\Sigma \rightarrow \mathbf{P}^N$, dont l'image est la

variété torique projective $X_{\mathcal{A}_Q}$. De fait, $N : \mathcal{X}_\Sigma \rightarrow X_{\mathcal{A}_Q}$ est la normalisation de $X_{\mathcal{A}_Q}$ [Stu96, Cor. 13.6].

Nota bene – La notion d'éventail permet de définir des variétés toriques qui, même complètes, n'admettent pas nécessairement de diviseur \mathbf{G}_m^n -invariant ample. Toutefois lorsqu'une variété torique abstraite possède un tel diviseur elle se plonge dans un espace projectif *via* une application monomiale et l'image est une variété torique du type que nous étudions ici. Plus généralement, toute variété torique projective au sens du présent texte est image par un morphisme régulier d'une variété torique abstraite, qui est un isomorphisme birationnel sur l'orbite ouverte. On notera encore que les variétés toriques abstraites sont toujours des variétés normales, voir [Ful93, § 2.1, p. 29].

Suivant la philosophie générale de la théorie des variétés toriques, la plupart des propriétés géométriques de ces variétés se traduisent en des énoncés combinatoires sur les vecteurs $a_0, \dots, a_N \in \mathbf{Z}^n$ définissant l'action. En ce qui concerne la théorie de l'intersection géométrique de ces variétés, le résultat le plus fondamental est que le degré s'identifie au volume de l'enveloppe convexe $Q_{\mathcal{A}}$.

Le sous-module $L_{\mathcal{A}}$ est un réseau de l'espace linéaire $L_{\mathcal{A}} \otimes_{\mathbf{Z}} \mathbf{R} \subset \mathbf{R}^n$; on considère la forme volume $\mu_{\mathcal{A}}$ sur cet espace linéaire, invariante par translations et normalisée de sorte que

$$\mu_{\mathcal{A}}(L_{\mathcal{A}} \otimes_{\mathbf{Z}} \mathbf{R} / L_{\mathcal{A}}) = 1 \quad ,$$

autrement-dit de sorte que le volume d'un domaine fondamental soit 1. Posons $r := \dim(L_{\mathcal{A}})$, le degré de $X_{\mathcal{A},\alpha}$ s'explique comme $r!$ fois le volume du polytope associé [Ful93, p. 111]

$$\deg(X_{\mathcal{A},\alpha}) = r! \mu_{\mathcal{A}}(Q_{\mathcal{A}}) \quad .$$

Soit maintenant $\eta : \mathbf{Z}^r \hookrightarrow \mathbf{Z}^n$ une application linéaire injective telle que $\eta(\mathbf{Z}^r) = L_{\mathcal{A}}$ et posons $b_i := \eta^{-1}(a_i) \in \mathbf{Z}^r$ puis $\mathcal{B} := (b_0, \dots, b_N) \in (\mathbf{Z}^r)^{N+1}$, alors $X_{\mathcal{B},\alpha} = X_{\mathcal{A},\alpha}$ [GKZ94, Ch. 5, Prop. 1.2], et ainsi on peut toujours supposer s.p.d.g. $L_{\mathcal{A}} = \mathbf{Z}^n$. Dans cette situation, la forme volume $\mu_{\mathcal{A}}$ coïncide avec la forme volume euclidienne Vol_n de \mathbf{R}^n et on a

$$(I.2) \quad \dim(X_{\mathcal{A},\alpha}) = n \quad , \quad \deg(X_{\mathcal{A},\alpha}) = n! \text{Vol}_n(Q_{\mathcal{A}}) \quad .$$

Plus généralement, les multidegrés du tore \mathbf{G}_m^n plongé dans un produit d'espaces projectifs *via* plusieurs applications monomiales s'expriment comme volumes mixtes des polytopes associés à ces applications. Nous explicitons cela maintenant.

Soit $Z \subset \mathbf{P}^{N_0} \times \dots \times \mathbf{P}^{N_m}$ de dimension n et $c = (c_0, \dots, c_m) \in \mathbf{N}_n^{m+1}$ avec $0 \leq c_i \leq N_i$, le *multidegré de Z d'indice c* est défini par

$$\deg_c(Z) := \text{Card}(X \cap \pi_1^{-1}(H_1) \cap \dots \cap \pi_n^{-1}(H_n))$$

où H_i est un hyperplan générique de \mathbf{P}^{N_i} et π_i la projection de $\mathbf{P}^{N_0} \times \dots \times \mathbf{P}^{N_m}$ sur \mathbf{P}^{N_i} .

Soit $d_0, \dots, d_n \in \mathbf{N}^{m+1} \setminus \{0\}$, on considère la *forme résultante*

$$\text{rés}_{d_0, \dots, d_n}(I(Z)) \in \overline{\mathbf{Q}}[U_0, \dots, U_n]$$

d'indice d_0, \dots, d_n de l'idéal premier multihomogène $I(Z) \subset \overline{\mathbf{Q}}[x_0, \dots, x_n]$. On renvoie le lecteur à [Rem01a, § 3] ou encore [PS04, § I.2] pour la définition et propriétés de base des formes résultantes.

À tout vecteur $c \in \mathbf{N}_n^{m+1}$ comme ci-dessus on associe l'indice partiel suivant ($c_0 + \dots + c_m = n$)

$$d(c) := \underbrace{(e_0, \dots, e_0)}_{c_0 \text{ fois}}, \dots, \underbrace{(e_m, \dots, e_m)}_{c_m \text{ fois}} \in (\mathbf{N}^{m+1})^n \quad ,$$

où e_0, \dots, e_m désignent les vecteurs de la base standard de \mathbf{R}^{m+1} . Pour tout choix de $d_0 \in \mathbf{N}^{m+1} \setminus \{0\}$ on a [**Rem01a**, Prop. 3.4 et 2.11]

$$\deg_c(Z) = \deg_{U_0}(\text{rés}_{d_0, d(c)}(I(Z))) .$$

Soit encore $D = (D_0, \dots, D_m) \in (\mathbf{N}^\times)^{m+1}$ et

$$\begin{aligned} \Psi_D : \mathbf{P}^{N_0} \times \dots \times \mathbf{P}^{N_m} &\rightarrow \mathbf{P}^{\binom{D_0+N_0}{N_0} \dots \binom{D_m+N_m}{N_m} - 1} \\ (x_0, \dots, x_m) &\mapsto (x_0^{b_0} \dots x_m^{b_m} : b_0 \in \mathbf{N}_{D_0}^{N_0+1}, \dots, b_m \in \mathbf{N}_{D_m}^{N_m+1}) , \end{aligned}$$

le plongement mixte associé (voir [**PS04**, § I.2]) on sait que [**Rem01b**, § 2.3]

$$(I.3) \quad \deg(\Psi_D(Z)) = \sum_{c \in \mathbf{N}_n^{m+1}} \binom{n}{c} \deg_c(Z) D^c .$$

Considérons maintenant des ensembles convexes $Q_1, \dots, Q_n \subset \mathbf{R}^n$, leur *volume mixte* (ou *multi-volume*) est défini par la formule

$$\text{MV}(Q_1, \dots, Q_n) := \sum_{j=1}^n (-1)^{n-j} \sum_{1 \leq i_1 < \dots < i_j \leq n} \text{Vol}_n(Q_{i_1} + \dots + Q_{i_j}) .$$

On sait que ceci généralise le volume d'un ensemble convexe car on a $\text{MV}(Q, \dots, Q) = n! \text{Vol}_n(Q)$. Le volume mixte est positif ou nul, symétrique et linéaire en chaque variable Q_i par rapport à la somme de Minkowski. On renvoie à [**CLO98**, § 7.4] pour les propriétés de base de cette notion.

Interprétons ces notions dans le cas des variétés toriques, soit $\mathcal{A}_0 \in (\mathbf{Z}^n)^{N_0+1}, \dots, \mathcal{A}_m \in (\mathbf{Z}^n)^{N_m+1}$ tels que $L_{\mathcal{A}_0} + \dots + L_{\mathcal{A}_m} = \mathbf{Z}^n$ et $\underline{\mathcal{A}} := (\mathcal{A}_0, \dots, \mathcal{A}_m)$, considérons l'action $*_{\underline{\mathcal{A}}}$ de \mathbf{G}_m^n sur le produit d'espaces projectifs $\mathbf{P}^{N_0} \times \dots \times \mathbf{P}^{N_m}$ associée :

$$*_{\underline{\mathcal{A}}} : \mathbf{G}_m^n \times \mathbf{P}^{N_0} \times \dots \times \mathbf{P}^{N_m} \longrightarrow \mathbf{P}^{N_0} \times \dots \times \mathbf{P}^{N_m} \\ (s, x_0, \dots, x_m) \longmapsto (\dots, (s^{a_{i,0}} x_{i,0} : \dots : s^{a_{i,N_i}} x_{i,N_i}), \dots)$$

On pose $X_{\underline{\mathcal{A}}}$ l'adhérence de Zariski de l'orbite du point $((1 : \dots : 1), \dots, (1 : \dots : 1)) \in \mathbf{P}^{N_0} \times \dots \times \mathbf{P}^{N_m}$ et plus généralement $X_{\underline{\mathcal{A}}, \underline{\alpha}}$ l'orbite de $\underline{\alpha} = (\alpha_0, \dots, \alpha_m) \in \mathbf{P}^{N_0} \times \dots \times \mathbf{P}^{N_m}$.

Proposition I.2. — Soit $c \in \mathbf{N}_n^{m+1}$, dans la situation ci-dessus on a

$$\deg_c(X_{\underline{\mathcal{A}}}) = \text{MV}_n(\underbrace{Q_{\mathcal{A}_0}, \dots, Q_{\mathcal{A}_0}}_{c_0 \text{ fois}}, \dots, \underbrace{Q_{\mathcal{A}_m}, \dots, Q_{\mathcal{A}_m}}_{c_m \text{ fois}}) .$$

Démonstration. — Soit $D = (D_0, \dots, D_m) \in (\mathbf{N}^\times)^{m+1}$, notons $D \cdot \underline{\mathcal{A}} := D_0 \mathcal{A}_0 + \dots + D_m \mathcal{A}_m$ l'ensemble des sommes de D_i éléments pris dans \mathcal{A}_i pour $i = 0, \dots, m$ et $Q_{D \cdot \underline{\mathcal{A}}} = D_0 Q_{\mathcal{A}_0} + \dots + D_m Q_{\mathcal{A}_m}$ l'enveloppe convexe de $D \cdot \underline{\mathcal{A}}$. On vérifie $\Psi_D(X_{\underline{\mathcal{A}}}) = X_{D \cdot \underline{\mathcal{A}}}$ et par multilinéarité du volume mixte

$$n! \text{Vol}_n(Q_{D \cdot \underline{\mathcal{A}}}) = \sum_{c \in \mathbf{N}_n^{m+1}} \binom{n}{c} \text{MV}_n(\underbrace{Q_{\mathcal{A}_0}, \dots, Q_{\mathcal{A}_0}}_{c_0 \text{ fois}}, \dots, \underbrace{Q_{\mathcal{A}_m}, \dots, Q_{\mathcal{A}_m}}_{c_m \text{ fois}}) D^c .$$

Comme $\deg(\Psi_D(X_{\underline{\mathcal{A}}})) = n! \text{Vol}_n(Q_{D \cdot \underline{\mathcal{A}}})$ pour tout D par la formule (I.2), la comparaison de l'identité ci-dessus avec (I.3) permet de conclure. \square

Les orbites de l'action $*_{\mathcal{A}}$ sur $X_{\mathcal{A},\alpha}$ sont en correspondance avec l'ensemble $F(Q_{\mathcal{A}})$ des faces du polytope $Q_{\mathcal{A}}$. Pour chaque face P on associe un point $\alpha_P := (\alpha_{P,0} : \dots : \alpha_{P,N}) \in \mathbf{P}^N$ défini par $\alpha_{P,j} := \alpha_j$ si $a_j \in P$ et $\alpha_{P,j} := 0$ sinon ; la bijection est donnée par [GKZ94, Ch. 5, Prop. 1.9], [Ful93, § 3.1]

$$P \mapsto X_{\mathcal{A},\alpha,P}^{\circ} := \mathbf{G}_m^n *_{\mathcal{A}} \alpha_P \subset \mathbf{P}^N .$$

On a la décomposition

$$(I.4) \quad X_{\mathcal{A},\alpha} = \bigsqcup_{P \in F(Q_{\mathcal{A}})} X_{\mathcal{A},\alpha,P}^{\circ} .$$

Posons $N(P) := \text{Card}\{i : a_i \in P\} - 1$ et

$$\mathcal{A}(P) = (a_i : a_i \in P) \in (\mathbf{Z}^n)^{N(P)+1} , \quad \alpha(P) := (\alpha_i : a_i \in P) \in (\overline{\mathbf{Q}}^{\times})^{N(P)+1} ,$$

on vérifie que $X_{\mathcal{A},\alpha,P}^{\circ} \subset \mathbf{P}^N$ est l'orbite principale d'une variété torique contenue dans un sous-espace standard $E \cong \mathbf{P}^{N(P)}$. Restreinte à ce sous-espace, elle s'identifie à la sous-variété $X_{\mathcal{A}(P),\alpha(P)}^{\circ} \subset \mathbf{P}^{N(P)}$, de dimension égale à la dimension (réelle) de la face P .

Plus généralement, soit $X_{\underline{\mathcal{A}}} \subset \mathbf{P}^{N_0} \times \dots \times \mathbf{P}^{N_m}$ une variété torique multi-projective et posons $Q_{\underline{\mathcal{A}}} := (Q_{\mathcal{A}_0}, \dots, Q_{\mathcal{A}_m})$ la famille de $m+1$ polytopes associée.

Pour un polytope $Q \subset \mathbf{R}^n$ et un vecteur $b \in \mathbf{R}^n$ on note $Q(b)$ la face de Q définie comme l'ensemble des points $u \in Q$ maximisant la fonctionnelle linéaire $u \mapsto \langle b, u \rangle$. Considérons le sous-ensemble $F(Q_{\underline{\mathcal{A}}})$ des vecteurs de faces des $Q_{\mathcal{A}_i}$ obtenus par cette méthode, c.-à-d.

$$F(Q_{\underline{\mathcal{A}}}) := \{(Q_{\mathcal{A}_0}(b), \dots, Q_{\mathcal{A}_m}(b)) : b \in \mathbf{R}^n\} \subset F(Q_{\mathcal{A}_0}) \times \dots \times F(Q_{\mathcal{A}_m}) .$$

On vérifiera que l'ensemble des sommes de Minkowski $Q_{\mathcal{A}_0}(b) + \dots + Q_{\mathcal{A}_m}(b)$ pour $b \in \mathbf{R}^n$, coïncide avec l'ensemble des faces de la somme de Minkowski $Q_{\mathcal{A}_0} + \dots + Q_{\mathcal{A}_m}$.

Soit $\underline{\alpha} = (\alpha_0, \dots, \alpha_m) \in \mathbf{P}^{N_0} \times \dots \times \mathbf{P}^{N_m}$, les orbites de l'action $*_{\underline{\mathcal{A}}}$ sur $X_{\underline{\mathcal{A}},\underline{\alpha}}$ sont en correspondance avec l'ensemble $F(Q_{\underline{\mathcal{A}}})$. Pour chaque $\underline{P} = (P_0, \dots, P_m) \in F(Q_{\underline{\mathcal{A}}})$ on considère le point $\alpha_{\underline{P}} := (\alpha_{P_0}, \dots, \alpha_{P_m}) \in \mathbf{P}^{N_0} \times \dots \times \mathbf{P}^{N_m}$; la bijection est donnée par

$$\underline{P} \mapsto X_{\underline{\mathcal{A}},\underline{\alpha},\underline{P}}^{\circ} := \mathbf{G}_m^n *_{\underline{\mathcal{A}}} \alpha_{\underline{P}} \subset \mathbf{P}^{N_0} \times \dots \times \mathbf{P}^{N_m} ;$$

la démonstration de ce fait est une légère variante de [GKZ94, Ch. 5, Prop. 1.9]. On a $\dim(X_{\underline{\mathcal{A}},\underline{\alpha},\underline{P}}^{\circ}) = \dim(P_0 + \dots + P_m)$ (somme de Minkowski).

II. Équations et indices d'obstruction successifs

Soit $X \subset \mathbf{P}^N(\overline{\mathbf{Q}})$ une variété projective de dimension n et $I(X) \subset \overline{\mathbf{Q}}[x_0, \dots, x_N]$ son idéal de définition, l'indice d'obstruction $\omega(X) \in \mathbf{N}$ est défini comme le plus petit degré d'une équation homogène $f \in I(X) \setminus \{0\}$. Plus généralement, pour $i = 1, \dots, N-n$ on considère le i -ème indice d'obstruction de X

$$\omega_i(X) := \min \{D \in \mathbf{N} : \dim(Z(f : f \in I(X)_D)) \leq N - i\} ,$$

où $I(X)_D$ désigne l'ensemble des éléments homogènes de degré $\leq D$ de l'idéal $I(X)$. Alternativement, $\omega_i(X)$ est le plus petit entier $D \in \mathbf{N}$ tel qu'il existe des polynômes homogènes $f_1, \dots, f_i \in I(X)$ de degré borné par D formant une intersection complète. Évidemment $\omega(X) = \omega_1(X)$ et

$$\omega_1(X) \leq \dots \leq \omega_{N-n}(X) .$$

Plus généralement encore, on peut considérer des *indices d'obstruction relatifs à un sous-ensemble ouvert* $U \subset \mathbf{P}^N$, c.-à-d.

$$\omega_i(X; U) := \min \{ D \in \mathbf{N} : \dim(Z(f : f \in I(X)_D) \cap U) \leq N - i \} .$$

Ces invariants jouent un rôle important dans les problèmes de Lehmer et de Bogomolov sur les tores [Dav03], [AD04], [Rat04]. D'un autre côté, les lemmes de zéros consistent à minorer le premier indice $\omega_1(X)$ pour une variété X de dimension 0 éventuellement munie de multiplicités ; ces résultats sont des outils fondamentaux dans la théorie des nombres transcendants, voir [Ber87]. Signalons que pour ces applications il est souvent important de considérer des indices d'obstruction *relatifs à des corps de nombres* (c.-à-d. pour des équations à coefficients dans un corps de nombres fixé) et pour des *schémas projectifs* quelconques.

Soit $\mathcal{A} = (a_0, \dots, a_N) \in (\mathbf{Z}^n)^{N+1}$ tel que $L_{\mathcal{A}} = \mathbf{Z}^n$ et $\alpha = (\alpha_0, \dots, \alpha_N) \in \mathbf{G}_m^{N+1}$. Considérons l'application linéaire

$$\eta_{\mathcal{A}} : \mathbf{Z}^{N+1} \rightarrow \mathbf{Z} \times \mathbf{Z}^n, \quad \lambda \mapsto (\lambda_0 + \dots + \lambda_N, \lambda_0 a_0 + \dots + \lambda_N a_N),$$

et posons $\Gamma_{\mathcal{A}} := \ker(\eta_{\mathcal{A}})$ son noyau. C'est un sous-module de \mathbf{Z}^{N+1} de rang $N - n$ et saturé, c.-à-d. que le quotient $\mathbf{Z}^{N+1}/\Gamma_{\mathcal{A}}$ est sans torsion.

Dans la suite on notera H l'hyperplan de \mathbf{R}^{N+1} d'équation $\lambda_0 + \dots + \lambda_N = 0$ et $H_{\mathbf{Z}} := H \cap \mathbf{Z}^{N+1}$. Ainsi, la projection de \mathbf{R}^{N+1} sur \mathbf{R}^N par ses N dernières coordonnées établit une correspondance biunivoque entre les sous-modules de $H_{\mathbf{Z}}$ et les sous-modules de \mathbf{Z}^N , préservant la saturation. En particulier, $\Gamma_{\mathcal{A}}$ est contenu dans $H_{\mathbf{Z}}$ et sa projection est un sous-module Λ de \mathbf{Z}^N sur lequel nous reviendrons au paragraphe III.

Pour $b \in \mathbf{R}^{N+1}$ on écrit de façon unique $b = b_+ - b_-$ avec $b_+, b_- \in \mathbf{R}_+^{N+1}$ à supports disjoints, c.-à-d. $(b_+)_i = b_i$ si $b_i > 0$ et 0 sinon, et $(b_-)_i = -b_i$ si $b_i < 0$ et 0 sinon. Le résultat suivant est une reformulation de [Stu96, Cor. 4.3].

Proposition II.1. — *L'idéal $I(X_{\mathcal{A}, \alpha})$ est engendré par $\{x^{b_+} - \alpha^b x^{b_-} : b \in \Gamma_{\mathcal{A}}\}$.*

Démonstration. — Soit $C_{\mathcal{A}, \alpha} \subset \mathbf{A}^{N+1}$ le cône de $X_{\mathcal{A}, \alpha}$; c'est l'adhérence de Zariski de l'image de l'application

$$\mathbf{G}_m^n \times \mathbf{G}_m \rightarrow \mathbf{A}^{N+1}, \quad (s, t) = (s_1, \dots, s_n, t) \mapsto (\alpha_0 t s^{a_0}, \dots, \alpha_N t s^{a_N}).$$

Donc $I(X_{\mathcal{A}, \alpha})$ coïncide avec le noyau de l'homomorphisme d'anneaux

$$\overline{\mathbf{Q}}[x_0, \dots, x_N] \rightarrow \overline{\mathbf{Q}}[s_1^{\pm 1}, \dots, s_n^{\pm 1}, t^{\pm 1}], \quad x_i \mapsto \alpha_i t s^{a_i};$$

le résultat devient une conséquence directe de [Stu96, Cor. 4.3]. □

Ainsi l'idéal d'une variété torique projective est *binomial*, c.-à-d. engendré par une famille de polynômes de la forme $\alpha x^a - \beta x^b$ avec $a, b \in \mathbf{N}^n$ et $\alpha, \beta \in \overline{\mathbf{Q}}^\times$. De plus, $I(X_{\mathcal{A}, \alpha})$ est premier et homogène, et ne contient aucune des variables x_i à cause de l'hypothèse $\alpha \in \mathbf{G}_m^{N+1}$. Réciproquement :

Proposition II.2. — ([ES96, Cor. 2.6]) — *Soit $I \subset \overline{\mathbf{Q}}[x_0, \dots, x_N]$ un idéal binomial homogène ne contenant aucune des variables x_i , alors I est premier si et seulement s'il existe un sous-module saturé $\Gamma \subset H_{\mathbf{Z}} \subset \mathbf{Z}^{N+1}$ et $\alpha \in \mathbf{G}_m^{N+1}$ tels que*

$$I = (x^{b_+} - \alpha^b x^{b_-} : b \in \Gamma) .$$

De plus, on a dans ce cas $\text{rang}(I) = \text{rang}_{\mathbf{Z}}(\Gamma)$.

La correspondance $X \mapsto I(X)$ est une bijection entre l'ensemble des sous-variétés toriques de \mathbf{P}^N et celui des idéaux binomiaux premiers, homogènes, ne contenant aucune des variables de x_i , $i = 0, \dots, N$. Via l'algorithme de Buchberger, on peut déterminer un ensemble fini de $b \in \Gamma_{\mathcal{A}}$ tels que les binômes correspondant engendrent l'idéal, comme expliqué dans [Stu96, Ch. 4 et 12].

Réciproquement, soit $I \subset \overline{\mathbf{Q}}[x_0, \dots, x_N]$ un idéal binomial premier et homogène, ne contenant aucune des variables x_i , associé à un sous-module saturé $\Gamma \subset H_{\mathbf{Z}} \subset \mathbf{Z}^{N+1}$ et un point $\alpha \in \mathbf{G}_m^{N+1}$.

Notons $n = N - \text{rang}_{\mathbf{Z}}(\Gamma)$ et soit $v_0, \dots, v_n \in \mathbf{Z}^{N+1}$ une base de l'orthogonal Γ^\perp de Γ dans \mathbf{Z}^{N+1} (relativement au produit usuel), puisque $\Gamma \subset H_{\mathbf{Z}}$ on peut supposer s.p.d.g. $v_0 = (1, \dots, 1)$; on pose

$$a_i := (v_{1,i}, \dots, v_{n,i}) \in \mathbf{Z}^n, \quad i = 0, \dots, n,$$

et $\mathcal{A} := (a_0, \dots, a_n) \in (\mathbf{Z}^n)^{n+1}$. Par construction $\Gamma_{\mathcal{A}} = \Gamma$ et $L_{\mathcal{A}} = \mathbf{Z}^n$, puisque v_0, \dots, v_n est une base de Γ^\perp et Γ est saturé, puis la proposition II.1 entraîne $I(X_{\mathcal{A}, \alpha}) = I$.

Exemple II.3. — Soit

$$\mathbf{G}_m^2 \rightarrow \mathbf{P}^3, \quad (s, t) \mapsto (1 : s : 3s^2t : st^2)$$

et posons $S \subset \mathbf{P}^3$ la surface torique, adhérence de Zariski de l'image de cette application. Soit

$$[\eta_{\mathcal{A}}] = \begin{bmatrix} 1 & 1 & 1 & 1 \\ 0 & 1 & 2 & 1 \\ 0 & 0 & 1 & 2 \end{bmatrix}$$

la matrice de l'application linéaire $\eta_{\mathcal{A}} : \mathbf{Z}^4 \rightarrow \mathbf{Z}^3$ dans les bases canoniques, alors $\Gamma_{\mathcal{A}} = \ker(\eta_{\mathcal{A}})$ est engendré par le seul vecteur

$$\gamma = (M_0, -M_1, M_2, -M_3) = (2, -3, 2, -1) \in \mathbf{Z}^4$$

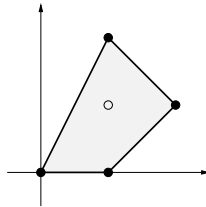
où M_i désigne le i -ème mineur de la matrice $[\eta_{\mathcal{A}}]$. Et donc une équation de S est

$$x^{\gamma^+} - \alpha^\gamma x^{\gamma^-} = x_0^2 x_2^2 - 9 x_1^3 x_3 \in \overline{\mathbf{Q}}[x_0, x_1, x_2, x_3].$$

Réciproquement, partons de l'équation binomiale $f := x_0^2 x_2^2 - 9 x_1^3 x_3 \in \overline{\mathbf{Q}}[x_0, x_1, x_2, x_3]$. Par la proposition II.2, l'idéal engendré est premier, puisqu'il est associé au \mathbf{Z} -module saturé $\Gamma \subset H_{\mathbf{Z}}$ engendré par $\gamma = (2, -3, 2, -1)$ et au point $\alpha := (1, 1, 3, 1) \in \mathbf{G}_m^4$.

On vérifie que $(1, 1, 1, 1), (0, 1, 2, 1), (0, 0, 1, 2) \in \mathbf{Z}^4$ forment bien une base de Γ^\perp et donc $Z(f) = X_{\mathcal{A}, \alpha}$ avec $\mathcal{A} = ((0, 0), (1, 0), (2, 1), (1, 2)) \in (\mathbf{Z}^2)^4$.

La figure suivante montre les exposants et le polytope associés à cette surface :



On peut encore lire sur cette figure que S est une surface de Fano de degré 4 dans \mathbf{P}^4 . Rappelons que pour un polytope entier $Q \subset \mathbf{R}^n$ de dimension n , la variété torique $X_{Q \cap \mathbf{Z}^n}$ est Fano si Q possède un seul point entier intérieur (qu'on note a_0) et si toute hyperface F a exactement n sommets $a_{F,1}, \dots, a_{F,n}$ tels que $a_{F,1} - a_0, \dots, a_{F,n} - a_0$ est une base de \mathbf{Z}^n .

D'un autre côté, le lemme I.1 montre que la surface S est géométriquement isomorphe à la surface associée au polytope ci-dessus, et donc elle est aussi de Fano.

Soit

$$\|v\|_1 := \sum_{i=0}^N |v_i|$$

la norme ℓ^1 d'un vecteur $v \in \mathbf{R}^{N+1}$ et notons $\mu_i := \mu_i(\Gamma_{\mathcal{A}}; \|\cdot\|_1)$ le i -ème minimum successif de $\Gamma_{\mathcal{A}}$ relatif à la norme $\|\cdot\|_1$. Rappelons que μ_i est défini comme le plus petit nombre $\rho \in \mathbf{R}$ tel qu'il existe i vecteurs indépendants $v_1, \dots, v_i \in \Gamma_{\mathcal{A}}$ de norme bornée par ρ . Alternativement,

$$\mu_i(\Gamma_{\mathcal{A}}; \|\cdot\|_1) := \min\{\rho \in \mathbf{R} : \text{rang}_{\mathbf{Z}}(\rho \cdot B(1, \|\cdot\|_1) \cap \Gamma_{\mathcal{A}}) \geq i\} .$$

où $B(1, \|\cdot\|_1)$ désigne la boule unité par rapport à la norme ℓ^1 . Le résultat suivant explicite les indices d'obstruction d'une variété torique relatifs à l'ouvert $(\mathbf{P}^N)^\circ$.

Proposition II.4. — $\omega_i(X_{\mathcal{A}, \alpha}; (\mathbf{P}^N)^\circ) = \frac{1}{2} \mu_i(\Gamma_{\mathcal{A}}; \|\cdot\|_1)$ pour $i = 1, \dots, N - n$.

Démonstration. — On peut se restreindre s.p.d.g. au cas $\alpha = (1, \dots, 1)$. Soient v_1, \dots, v_{N-n} des vecteurs formant une base de $\Gamma_{\mathcal{A}}$. D'après [ES96, Thm. 2.1(b)] les binômes

$$x^{(v_1)_+} - x^{(v_1)_-}, \dots, x^{(v_{N-n})_+} - x^{(v_{N-n})_-} \in \overline{\mathbf{Q}}[x_0, \dots, x_N]$$

découpent une intersection complète sur le tore $(\mathbf{P}^N)^\circ$ contenant $X_{\mathcal{A}}^\circ$, et on a $\deg(x^{(v_j)_+} - x^{(v_j)_-}) = \frac{1}{2} \|v_j\|_1$ (car $\sum_{k=0}^N v_{j,k} = 0$). En prenant v_1, \dots, v_{N-n} réalisant les minimums successifs du module $\Gamma_{\mathcal{A}}$ on obtient

$$\omega_i(X_{\mathcal{A}}; (\mathbf{P}^N)^\circ) \leq \max\{\deg(x^{(v_j)_+} - x^{(v_j)_-}) : 1 \leq j \leq i\} = \frac{1}{2} \mu_i(\Gamma_{\mathcal{A}}; \|\cdot\|_1) .$$

Dans l'autre direction, soit $f_1, \dots, f_{N-n} \in I(X_{\mathcal{A}})$ une suite de polynômes homogènes réalisant les indices d'obstruction successifs de $X_{\mathcal{A}}$ sur $(\mathbf{P}^N)^\circ$. Par la proposition II.1

$$f_j(x) = \sum_{b \in \Gamma_{\mathcal{A}}} g_{j,b}(x) (x^{b_+} - x^{b_-})$$

avec $g_{j,b} \in \overline{\mathbf{Q}}[x_0, \dots, x_N]$, et on a, pour tout $b \in \Gamma_{\mathcal{A}}$ tel que $g_{j,b} \neq 0$:

$$(II.5) \quad \deg(f_j) = \deg(g_{j,b}) + \deg(x^{b_+} - x^{b_-}) = \deg(g_{j,b}) + \frac{1}{2} \|b\|_1 \geq \frac{1}{2} \|b\|_1 .$$

Soit $1 \leq i \leq N - n$, posons $L_i \subset \Gamma_{\mathcal{A}}$ le \mathbf{Z} -module engendré par les $b \in \Gamma_{\mathcal{A}}$ tels que $g_{j,b} \neq 0$ pour un certain $1 \leq j \leq i$. Alors, $f_j \in J_i := (x^{b_+} - x^{b_-} : b \in L_i) \subset \overline{\mathbf{Q}}[x_0, \dots, x_N]$ pour $j = 1, \dots, i$ et donc

$$i = \text{rang}(f_1, \dots, f_i) \leq \text{rang}(J_i) = \text{rang}_{\mathbf{Z}}(L_i)$$

par la proposition II.2 ci-dessus. Ainsi L_i est un sous-module de $\Gamma_{\mathcal{A}}$ de rang au moins i et on peut trouver i vecteurs linéairement indépendants parmi les $b \in \Gamma_{\mathcal{A}}$ tels que $g_{j,b} \neq 0$ pour un certain $1 \leq j \leq i$. L'un au moins de ces vecteurs est de norme $\|b\|_1 \geq \mu_i(\Gamma_{\mathcal{A}}; \|\cdot\|_1)$ et on en déduit avec (II.5)

$$\omega_i(X_{\mathcal{A}}; (\mathbf{P}^N)^\circ) = \max\{\deg(f_j) : j = 1, \dots, i\} \geq \frac{1}{2} \mu_i(\Gamma_{\mathcal{A}}; \|\cdot\|_1) .$$

□

Soit $X \subset \mathbf{P}^N$ une variété de dimension n , comme conséquence directe de sa majoration de la fonction de Hilbert géométrique, Chardin a montré qu'on a toujours

$$\omega_1(X) \leq N \deg(X)^{\frac{1}{N-n}} ,$$

et aussi $\omega_2(X)^{\frac{1}{2}} \leq N \deg(X)^{\frac{1}{N-n}}$ [Cha89]. Ultérieurement, Chardin et Philippon ont considéré le problème de l'*interpolation algébrique*, estimant le degré minimal de sous-variétés

$$X = Y_{N-n} \subset \cdots \subset Y_1 \subset \mathbf{P}^N$$

telles que $\text{codim}(Y_j) = j$. Ils ont montré qu'on peut choisir Y_1, \dots, Y_{N-n} comme ci-dessus, satisfaisant [CP99]

$$(II.6) \quad \deg(Y_j)^{\frac{1}{j}} \leq N 4^{N-1} \deg(X)^{\frac{1}{N-n}} .$$

L'interpolation algébrique est très proche des problèmes d'estimation des indices d'obstruction successifs. En fait, une reformulation plus précise de leur démonstration montre qu'il existe des équations $f_1, \dots, f_{N-n} \in I(X)$ formant une intersection complète au voisinage du point générique de X , et telles que

$$\deg(X) \leq \deg(f_1) \cdots \deg(f_{N-n}) \leq c(N) \deg(X)$$

pour une constante $c(N) > 0$ explicite. Supposant $\deg(f_1) \leq \cdots \leq \deg(f_{N-n})$ et en prenant pour Y_j une composante isolée de $Z(f_1, \dots, f_j)$ contenant X , on retrouve le résultat (II.6) (à un facteur constant près). De plus, ceci équivaut aux inégalités

$$(II.7) \quad \deg(X) \leq \omega_1(X; U) \cdots \omega_{N-n}(X; U) \leq c(N) \deg(X)$$

pour un certain ouvert $U \subset \mathbf{P}^N$ tel que $X \cap U \neq \emptyset$.

L'interprétation des indices d'obstruction des variétés toriques comme minimums successifs permet de traduire le deuxième théorème de Minkowski en des estimations pour le produit de ces indices relatifs à l'ouvert $(\mathbf{P}^N)^\circ$.

Corollaire II.5. — *On a*

$$\deg(X_{A,\alpha}) \leq \omega_1(X_{A,\alpha}; (\mathbf{P}^N)^\circ) \cdots \omega_{N-n}(X_{A,\alpha}; (\mathbf{P}^N)^\circ) \leq c(N, n) \deg(X_{A,\alpha})$$

avec

$$c(N, n) := \binom{N+1}{n+1}^{\frac{1}{2}} \left(\frac{N+1}{\pi} \right)^{\frac{N-n}{2}} \Gamma \left(1 + \frac{N-n}{2} \right) \leq \left(\frac{N+1}{\sqrt{\pi}} \right)^{N-n} .$$

Démonstration. — La première inégalité est une conséquence directe du théorème de Bézout ; passons à la deuxième. Posons $\Gamma_{\mathcal{A}}^{\mathbf{R}} := \Gamma_{\mathcal{A}} \otimes \mathbf{R} \cong \mathbf{R}^{N-n}$, de sorte que $\Gamma_{\mathcal{A}}$ est un *réseau* de $\Gamma_{\mathcal{A}}^{\mathbf{R}}$. Posons aussi $B := B(1, \|\cdot\|_1) \cap \Gamma_{\mathcal{A}}^{\mathbf{R}}$ la boule unité de $\Gamma_{\mathcal{A}}^{\mathbf{R}}$ par rapport à la restriction de la norme ℓ^1 . Ceci étant un ensemble convexe 0-symétrique, le deuxième théorème de Minkowski sur les minimums successifs d'un réseau entraîne

$$\frac{2^{N-n}}{(N-n)!} \leq \frac{\text{Vol}(B)}{\text{Vol}(\Gamma_{\mathcal{A}}^{\mathbf{R}}/\Gamma_{\mathcal{A}})} \prod_{i=1}^{N-n} \mu_i(\Gamma_{\mathcal{A}}; \|\cdot\|_1) \leq 2^{N-n}$$

et donc

$$(II.8) \quad \prod_{i=1}^{N-n} \omega_i(X_{A,\alpha}; (\mathbf{P}^N)^\circ) \leq \frac{\text{Vol}(\Gamma_{\mathcal{A}}^{\mathbf{R}}/\Gamma_{\mathcal{A}})}{\text{Vol}(B)}$$

par la proposition II.4. Pour conclure, il suffit donc de majorer le quotient $\text{Vol}(\Gamma_{\mathcal{A}}^{\mathbf{R}}/\Gamma_{\mathcal{A}})/\text{Vol}(B)$. Reprenons

$$[\eta_{\mathcal{A}}] = \begin{bmatrix} 1 & \cdots & 1 \\ a_{0,1} & \cdots & a_{N,1} \\ \vdots & & \vdots \\ a_{0,n} & \cdots & a_{N,n} \end{bmatrix} = \begin{bmatrix} v_0 \\ v_1 \\ \vdots \\ v_n \end{bmatrix}$$

la matrice de l'application $\eta_{\mathcal{A}} : \mathbf{Z}^{N+1} \rightarrow \mathbf{Z}^{n+1}$ dans les bases canoniques (v_0, \dots, v_n désignent les lignes de la matrice $[\eta_{\mathcal{A}}]$). Le module $\Gamma_{\mathcal{A}}$ est l'orthogonal du sous-module V de \mathbf{Z}^{N+1} engendré par v_0, \dots, v_n . C'est aussi un sous-module saturé à cause de l'hypothèse $L_{\mathcal{A}} = \mathbf{Z}^n$; la formule de Brill-Gordan (voir par exemple [PS04, formule (II.2)]) entraîne alors

$$\text{Vol}(\Gamma_{\mathcal{A}}^{\mathbf{R}}/\Gamma_{\mathcal{A}}) = \text{Vol}(V^{\mathbf{R}}/V)$$

et donc, par la formule de Cauchy-Binet,

$$\text{Vol}(\Gamma_{\mathcal{A}}^{\mathbf{R}}/\Gamma_{\mathcal{A}}) = \|v_0 \wedge \cdots \wedge v_n\|_2 = \left(\sum_{J; \text{Card}(J)=n+1} \det([\eta_{\mathcal{A}}]_J)^2 \right)^{1/2}.$$

Chaque terme $|\det([\eta_{\mathcal{A}}]_J)|$ est $n!$ fois le volume d'un simplexe contenu dans le polytope $Q_{\mathcal{A}}$; ainsi on peut majorer cette quantité par

$$\text{Vol}(\Gamma_{\mathcal{A}}^{\mathbf{R}}/\Gamma_{\mathcal{A}}) \leq \binom{N+1}{n+1}^{1/2} n! \text{Vol}_n(Q_{\mathcal{A}}) = \binom{N+1}{n+1}^{1/2} \text{deg}(X_{\mathcal{A},\alpha}).$$

En outre, notons que la boule unité B contient la boule euclidienne de rayon $\frac{1}{\sqrt{N+1}}$ centrée en l'origine dans $\Gamma_{\mathcal{A}}^{\mathbf{R}}$, on a ainsi

$$\text{Vol}(B) \geq \left(\frac{\pi}{N+1} \right)^{\frac{N-n}{2}} \cdot \frac{1}{\Gamma\left(1 + \frac{N-n}{2}\right)}.$$

On en déduit

$$\begin{aligned} \prod_{i=1}^{N-n} \omega_i(X_{\mathcal{A},\alpha}; (\mathbf{P}^N)^{\circ}) &\leq \frac{\text{Vol}(\Gamma_{\mathcal{A}}^{\mathbf{R}}/\Gamma_{\mathcal{A}})}{\text{Vol}(B)} \\ &\leq \binom{N+1}{n+1}^{\frac{1}{2}} \cdot \left(\frac{N+1}{\pi} \right)^{\frac{N-n}{2}} \cdot \Gamma\left(1 + \frac{N-n}{2}\right) \cdot \text{deg}(X_{\mathcal{A},\alpha}) \\ &\leq \frac{(N+1)^{\frac{N-n}{2}}}{(N-n)!^{\frac{1}{2}}} \cdot \left(\frac{N+1}{\pi} \right)^{\frac{N-n}{2}} \cdot \prod_{k=0}^{\lfloor \frac{N-n}{2} \rfloor - 1} \left(\frac{N-n}{2} - k \right) \cdot \text{deg}(X_{\mathcal{A},\alpha}) \\ &\leq \left(\frac{N+1}{\sqrt{\pi}} \right)^{N-n} \cdot \text{deg}(X_{\mathcal{A},\alpha}). \end{aligned}$$

□

Ce résultat améliore la constante $c(N)$ dans (II.7) pour le cas torique, et de plus il précise l'ouvert U par rapport auquel les indices peuvent être considérés.

En revenant au cas d'une sous-variété $X \subset \mathbf{P}^N$ quelconque de dimension n , il est naturel de se demander si l'estimation (II.7) reste valide pour $U = \mathbf{P}^N$. Autrement-dit, s'il existe

toujours des polynômes homogènes $f_1, \dots, f_{N-n} \in I(X)$ formant une intersection complète globale et tels que

$$\deg(X) \leq \deg(f_1) \cdots \deg(f_{N-n}) \leq c(N) \deg(X) .$$

Il serait intéressant de décider cette question déjà sur la classe des variétés toriques. Pour ce faire, on voudrait expliciter les indices $\omega_i(X)$, comme on l'a fait dans la proposition II.4 pour $\omega_i(X; (\mathbf{P}^N)^\circ)$.

III. Volumes, hauteurs d'espaces tangents et degrés

Dans la définition du paragraphe I, les sous-groupes algébriques connexes de \mathbf{G}_m^N correspondent aux variétés toriques $X_{\mathcal{A}}^\circ$ via l'identification $\iota : \mathbf{G}_m^N \hookrightarrow (\mathbf{P}^N)^\circ$. D'un autre côté, l'ensemble des points complexes d'un sous-groupe algébrique connexe G de \mathbf{G}_m^N , de dimension n , est décrit via l'application exponentielle par son espace tangent $TG(\mathbf{C}) \subset \mathbf{C}^N$ à l'origine et son réseau de périodes

$$\Lambda := TG(\mathbf{C}) \cap (2i\pi\mathbf{Z})^N ,$$

de rang n sur \mathbf{Z} .

Munissons l'espace tangent à \mathbf{G}_m^N en l'origine $T\mathbf{G}_m^N(\mathbf{C}) \simeq \mathbf{C}^N$ de la structure euclidienne pour laquelle les $2N$ éléments e_i et $2i\pi e_i$, $i = 1, \dots, N$, forment une base orthonormée.

Soit $\mathcal{A} := (a_0, \dots, a_N) \in (\mathbf{Z}^n)^{N+1}$ tel que $L_{\mathcal{A}} = \mathbf{Z}^n$ et $\iota(G) = X_{\mathcal{A}}^\circ$, des générateurs de Λ sont donnés par les vecteurs $2i\pi\lambda_1, \dots, 2i\pi\lambda_n \in (2i\pi\mathbf{Z})^N$ où $\lambda_{i,j} = a_{j,i} - a_{0,i}$, $j = 1, \dots, N$, pour tout $i = 1, \dots, n$. En fait, le \mathbf{Z} -module $\frac{1}{2i\pi}\Lambda$ est la projection du \mathbf{Z} -module $\Gamma_{\mathcal{A}} \subset H_{\mathbf{Z}}$, introduit au paragraphe II précédent, par la projection sur les N dernières coordonnées de \mathbf{Z}^{N+1} .

Considérons encore l'adhérence de Zariski \overline{G} de G dans la compactification $(\mathbf{P}^1)^N$ de \mathbf{G}_m^N , ses multidegrés sont indexés par des multi-indices $c = (c_1, \dots, c_N) \in \mathbf{N}_n^N$ où $c_j \in \{0, 1\}$. À toute suite croissante $1 \leq j_1 < \dots < j_n \leq N$ on associe un multi-indice $c(j_1, \dots, j_n)$ défini par $c(j_1, \dots, j_n)_j = 1$ si $j \in \{j_1, \dots, j_n\}$ et 0 sinon. Indiquons comment on retrouve par ce biais la proposition 4 de [BP88].

Proposition III.1. — *Avec les notation ci-dessus, le volume (pour la structure euclidienne fixée) de la projection de Λ sur le produit des n facteurs de \mathbf{R}^N indexés par j_1, \dots, j_n est égal à $\text{MV}_n(\overline{a_0 a_{j_1}}, \dots, \overline{a_0 a_{j_n}}) = \deg_{c(j_1, \dots, j_n)}(\overline{G})$, où $\overline{a_0 a_j}$ désigne le segment de droite joignant a_0 à a_j dans \mathbf{R}^n .*

Démonstration. — En effet, la projection de Λ considérée est un réseau de $(2i\pi\mathbf{R})^n$ engendré par les vecteurs $(2i\pi\lambda_{i,j_1}, \dots, 2i\pi\lambda_{i,j_n})$, $i = 1, \dots, n$. Son volume pour la structure euclidienne fixée est donc égal à $|\Lambda_{j_1, \dots, j_n}| = \text{MV}_n(\overline{a_0 a_{j_1}}, \dots, \overline{a_0 a_{j_n}})$ où

$$\Lambda_{j_1, \dots, j_n} = \det \begin{bmatrix} \lambda_{1,j_1} & \dots & \lambda_{1,j_n} \\ \vdots & & \vdots \\ \lambda_{n,j_1} & \dots & \lambda_{n,j_n} \end{bmatrix} \in \mathbf{Z} .$$

Finalement, ce multivolume est égal, par la formule (I.2), au multidegré $\deg_{c(j_1, \dots, j_n)}(\overline{G})$ correspondant. \square

On notera que les $\Lambda_{j_1, \dots, j_n}$ introduits dans la démonstration précédente sont des coordonnées grasmaniennes de l'espace tangent $TG(\mathbf{C})$ en l'origine de G dans \mathbf{C}^N . Comme Λ est un réseau

primitif de $TG(\mathbf{C})$ on a

$$\text{ppcm}(\Lambda_{j_1, \dots, j_n}; 1 \leq j_1 < \dots < j_n \leq N) = 1 \ .$$

L'image de G par le plongement de Segre $s : (\mathbf{P}^1)^N \rightarrow \mathbf{P}^{2^N-1}$ est décrite par la somme de Minkowski

$$\overline{a_0 a_1} + \dots + \overline{a_0 a_N} \subset \mathbf{R}^n \ ,$$

dont le volume est égal à la somme des volumes mixtes pour toutes les projections du type envisagé dans la proposition III.1. On a en particulier

$$\begin{aligned} \deg_{\mathbf{P}^{2^N-1}}(\overline{s(G)}) &= n! \text{Vol}_n(\overline{a_0 a_1} + \dots + \overline{a_0 a_N}) \\ &= n! \sum_{1 \leq j_1 < \dots < j_n \leq N} \text{MV}_n(\overline{a_0 a_{j_1}}, \dots, \overline{a_0 a_{j_n}}) \\ &= n! \sum_{1 \leq j_1 < \dots < j_n \leq N} |\Lambda_{j_1, \dots, j_n}| \ . \end{aligned}$$

Ainsi, le degré de $\overline{s(G)}$ est égal à $n!$ fois la hauteur ℓ^1 des coordonnées grasmaniennes de son espace tangent dans \mathbf{C}^N .

Si on introduit avec Schmidt [Sch91], page 28, la hauteur $h_S(T)$ d'un sous-espace $T \subset \mathbf{C}^N$ défini sur $\overline{\mathbf{Q}}$ comme la hauteur projective du point qui le représente dans la variété grasmanienne, on a la formule

$$h_S(TG) = \left(\sum_{1 \leq j_1 < \dots < j_n \leq N} |\Lambda_{j_1, \dots, j_n}|^2 \right)^{\frac{1}{2}} = \text{Vol}_n(TG(\mathbf{C}) \cap (2i\pi\mathbf{R})^N / \Lambda) = \text{Vol}_n(\Gamma_{\mathcal{A}}^{\mathbf{R}} / \Gamma_{\mathcal{A}}) \ ,$$

car $TG(\mathbf{C}) \subset \mathbf{C}^N$ est défini sur \mathbf{Q} et ses coordonnées grasmaniennes $\Lambda_{j_1, \dots, j_n}$ dans \mathbf{Z} sont premières entre elles dans leur ensemble. La seconde égalité n'est autre que la formule de Cauchy-Binet déjà utilisée au paragraphe II précédent. La troisième égalité s'obtient en identifiant, dans les notations du paragraphe II, l'hyperplan $H := \{\lambda_0 + \dots + \lambda_N = 0\} \subset \mathbf{R}^{N+1}$ avec \mathbf{R}^N par la projection sur les N dernières coordonnées, de sorte que l'image de $H_{\mathbf{Z}}$ est \mathbf{Z}^N .

En remarquant que $Q_{\mathcal{A}} = \text{Conv}(a_0, \dots, a_N)$ contient tous les simplexes de sommets pris parmi les a_i et est contenu dans l'union de ces mêmes simplexes ayant a_0 comme sommet fixe, on vérifie facilement (le volume du simplexe $Q_{\mathcal{A}}$ est égal à $\frac{1}{n!} |\Lambda_{i_1, \dots, i_n}|$)

$$\frac{1}{n!} \max_{1 \leq j_1, \dots, j_n \leq N} |\Lambda_{j_1, \dots, j_n}| \leq \text{Vol}_n(Q_{\mathcal{A}}) \leq \frac{1}{n!} \sum_{1 \leq j_1 < \dots < j_n \leq N} |\Lambda_{j_1, \dots, j_n}| \ .$$

On sait, d'après la formule (I.2), que $\deg_{\mathbf{P}^N}(\overline{G}) = n! \text{Vol}_n(Q_{\mathcal{A}})$, en particulier

Proposition III.2. — *Pour tout sous-groupe algébrique $G \subset \mathbf{G}_m^N$ de dimension n on a*

$$n! \deg_{\mathbf{P}^N}(\overline{G}) \leq \deg_{\mathbf{P}^{2^N-1}}(\overline{s(G)}) \leq n! \binom{N}{n} \cdot \deg_{\mathbf{P}^N}(\overline{G}) \ .$$

On pourra comparer avec le résultat analogue pour la hauteur normalisée dans [DP99, Prop. 2.2].

Si on introduit la fonction $f_{\mathcal{A}}$ sur l'enveloppe convexe $Q_{\mathcal{A}}$ des points $\mathcal{A} = (a_0, \dots, a_N)$ dans \mathbf{R}^n , à valeur dans \mathbf{N} , définie pour $u \in Q_{\mathcal{A}}$ par :

$$f_{\mathcal{A}}(u) := \text{Card} \{ (j_1, \dots, j_n); 1 \leq j_1 < \dots < j_n \leq N \text{ et } u \in \text{Conv}(a_0, a_{j_1}, \dots, a_{j_n}) \} \ ,$$

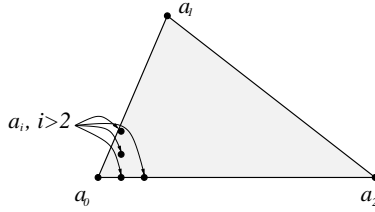
on vérifie facilement l'égalité

$$\frac{\deg_{\mathbf{P}^{2N-1}}(\overline{s(G)})}{n! \deg_{\mathbf{P}^N}(\overline{G})} = \frac{1}{\text{Vol}_n(Q_{\mathcal{A}})} \cdot \int_{Q_{\mathcal{A}}} f_{\mathcal{A}}(u) du .$$

Exemple III.3. — En considérant des points a_0, \dots, a_N dans \mathbf{Z}^n tels que a_{n+1}, \dots, a_N soient très proches de a_0 comparativement à a_1, \dots, a_n (voir figure ci-dessous pour $n = 2$), on a

$$\sum_{1 \leq j_1 < \dots < j_n \leq N} |\Lambda_{j_1, \dots, j_n}| \approx \max_{1 \leq j_1, \dots, j_n \leq N} |\Lambda_{j_1, \dots, j_n}| = |\Lambda_{1, \dots, n}| .$$

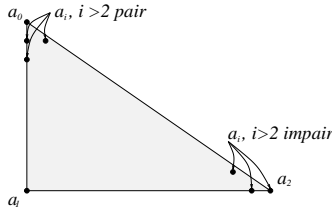
On obtient ainsi une variété torique pour laquelle $n! \deg_{\mathbf{P}^N}(\overline{G}) \approx \deg_{\mathbf{P}^{2N-1}}(\overline{s(G)})$, montrant que l'inégalité de gauche dans la proposition III.2 est optimale.



Exemple III.4. — Considérons maintenant $N = mn$ points a_1, \dots, a_N de \mathbf{Z}^n également concentrés autour de a_1, \dots, a_n , par exemple $a_{kn+i} \approx a_i$ à l'intérieur de $\text{Conv}(a_0, a_1, \dots, a_n)$, pour $k = 1, \dots, m-1$ et $i = 1, \dots, n$ (voir figure ci-dessous pour $n = 2$). On a alors

$$\sum_{1 \leq j_1 < \dots < j_n \leq N} |\Lambda_{j_1, \dots, j_n}| \gtrsim \left(\frac{N}{n}\right)^n \cdot n! \text{Vol}_n(a_0, a_1, \dots, a_n) .$$

On obtient ainsi une variété torique pour laquelle $\deg_{\mathbf{P}^{2N-1}}(\overline{s(G)}) \gtrsim n! \left(\frac{N}{n}\right)^n \deg_{\mathbf{P}^N}(\overline{G})$, laissant supposer que l'inégalité de droite dans la proposition III.2 pourrait être améliorée d'un facteur e^n . De fait, lorsque $n = 2$ on vérifie pour toute configuration \mathcal{A} de points et tout $u \in Q_{\mathcal{A}}$ la majoration $f_{\mathcal{A}}(u) \leq \left(\frac{N}{2}\right)^2$, d'où $\deg_{\mathbf{P}^{2N-1}}(\overline{s(G)}) \leq 2 \left(\frac{N}{2}\right)^2 \deg_{\mathbf{P}^N}(\overline{G})$, qui est optimal.



IV. Poids de Chow

Soit $X \subset \mathbf{P}^N$ et $\tau = (\tau_0, \dots, \tau_N) \in \mathbf{R}^{N+1}$, rappelons que $e_{\tau}(X) \in \mathbf{R}$ désigne le τ -poids de Chow de X défini dans l'introduction.

Pour $\lambda \in \mathbf{R}^+$ on a $e_{\lambda\tau}(X) = \lambda e_{\tau}(X)$. De même, on vérifie facilement que pour $\tau' \in \mathbf{R}$ on a $e_{\tau+(\tau', \dots, \tau')}(X) = e_{\tau}(X) + \tau'(n+1) \deg(X)$. On vérifie encore que si $\sigma_{\delta} : \mathbf{P}^N \rightarrow \mathbf{P}^M$, $M+1 = \binom{N+\delta}{N}$, désigne le plongement de Veronese de degré δ et $\tau^{(\delta)}$ le vecteur des τ -poids des monômes de degrés δ , on a $e_{\tau^{(\delta)}}(\sigma_{\delta}(X)) = \delta^{n+1} \cdot e_{\tau}(X)$. Plus profonde est l'expression

de $e_\tau(X)$ comme coefficient dominant d'une *fonction poids de Hilbert* démontrée par Mumford [Mum77, Prop. 2.11] :

$$s_\tau(X; D) := \max_J \sum_{\lambda \in J} (\tau_0 \lambda_0 + \cdots + \tau_N \lambda_N) = \frac{e_\tau(X)}{(n+1)!} D^{n+1} + O(D^n) ,$$

où le maximum porte sur tous les ensembles J d'éléments de \mathbf{N}_D^{N+1} tels que les monômes associés induisent une base de la partie graduée de degré D de l'anneau de la variété X .

Exemple IV.1. — Si H est une hypersurface de \mathbf{P}^N d'équation $f \in \overline{\mathbf{Q}}[x_0, \dots, x_N]$ et $\tau \in \mathbf{R}^{N+1}$, on a

$$e_\tau(H) = (\tau_0 + \cdots + \tau_N) \deg(H) - w_t(\lambda_\tau^*(f))$$

où $\lambda_\tau^*(f) := f(t^{\tau_0} x_0, \dots, t^{\tau_N} x_N)$ et w_t désigne la valuation t -adique.

Lorsque $\tau \in \mathbf{Z}^{N+1}$ le poids de Chow peut s'interpréter en termes de bidegré de la déformation torique $X_\tau \subset \mathbf{P}^1 \times \mathbf{P}^N$ de X relative à τ . Une forme résultante d'indice $(1, n+1)$ de X_τ s'écrit

$$v_1^{e_\tau(X)} v_0^{e_{-\tau}(X)} Ch_X(\dots, (-v_0/v_1)^{\tau_j} u_{i,j}, \dots) ,$$

son degré en (v_0, v_1) est $e_\tau(X) + e_{-\tau}(X)$ d'après la définition 0.1 du poids de Chow et c'est par ailleurs le bidegré $\deg_{(0, n+1)}(X_\tau)$, d'où

$$\deg_{(0, n+1)}(X_\tau) = e_\tau(X) + e_{-\tau}(X) .$$

Rappelons que le degré $\deg_{(0, n+1)}$ est obtenu en intersectant par $n+1$ formes linéaires relevées du second facteur \mathbf{P}^{2N+1} , voir le paragraphe I pour plus de détails.

Lorsque $\tau \in \mathbf{N}^{N+1}$ on peut aussi interpréter le poids de Chow $e_\tau(X)$ isolément comme un bidegré en considérant une variation de la déformation torique précédente. Précisément, il s'agit maintenant de l'adhérence de Zariski $\tilde{X}_\tau \subset \mathbf{P}^1 \times \mathbf{P}^{2N+1}$ de

$$\{(1 : t) \times (t^{\tau_0} x_0 : \dots : t^{\tau_N} x_N : x_0 : \dots : x_N); t \in \mathbf{G}_m, x \in X\} .$$

En appliquant ce qui précède on a

$$\deg_{(0, n+1)}(\tilde{X}_\tau) = e_{\tilde{\tau}}(\tilde{X}) + e_{-\tilde{\tau}}(\tilde{X}) ,$$

où \tilde{X} désigne le *plongement diagonal* de X dans \mathbf{P}^{2N+1} et $\tilde{\tau} = (\tau_0, \dots, \tau_N, 0, \dots, 0) \in \mathbf{N}^{2N+2}$. On vérifie sans difficulté $e_{\tilde{\tau}}(\tilde{X}) = e_\tau(X)$ et $e_{-\tilde{\tau}}(\tilde{X}) = 0$, d'où $\deg_{(0, n+1)}(\tilde{X}_\tau) = e_\tau(X)$.

Donnons maintenant la démonstration du théorème 0.2, en commençant par une variante de ce théorème de Bézout pour les poids de Chow. Notons

$$\pi : \mathbf{P}^1 \times \mathbf{P}^{2N+1} \rightarrow \mathbf{P}^N , \quad ((t_0 : t_1), (x_0 : \dots : x_N : y_0 : \dots : y_N)) \mapsto (y_0 : \dots : y_N)$$

la projection de $\mathbf{P}^1 \times \mathbf{P}^{2N+1}$ sur \mathbf{P}^N donnée par les $N+1$ dernière coordonnées de \mathbf{P}^{2N+1} et

$$\tilde{\iota} : \mathbf{P}^N \rightarrow \mathbf{P}^1 \times \mathbf{P}^{2N+1} , \quad (x_0 : \dots : x_N) \mapsto ((0 : 1), (x_0 : \dots : x_N : 0 : \dots : 0)) .$$

Théorème IV.2. — Soit $X \subset \mathbf{P}^N$ une variété projective et H un diviseur de \mathbf{P}^N ne contenant pas X , alors pour tout $\tau \in (\mathbf{N}^\times)^{N+1}$ on a

$$e_\tau(X \cdot H) = e_\tau(X) \deg(H) - \sum_{Y \in \text{Irr}(\text{init}_\tau(X))} m(\tilde{X}_\tau \cdot \pi^*(H); \tilde{\iota}(Y)) \deg(Y) .$$

De plus, si H est une hypersurface et $f \in \overline{\mathbf{Q}}[x_0, \dots, x_N]$ est une équation de H on a, avec les notations du théorème 0.2,

$$m(\tilde{X}_\tau \cdot \pi^*(H); \tilde{\iota}(Y)) = m(X_\tau \cdot \text{div}(\lambda_\tau^*(f)); \iota(Y)) ,$$

où $\lambda_\tau^*(f) := f(t_0^{\tau_0} x_0, \dots, t_0^{\tau_N} x_N) \in \overline{\mathbf{Q}}[t_0, t_1][x_0, \dots, x_N]$.

Démonstration. — Comme H ne contient pas X , le cycle intersection $\widetilde{X}_\tau \cdot \pi^*(H)$ s'écrit comme la somme du cycle $(\widetilde{X} \cdot H)_\tau$ et d'un cycle supporté par $\tilde{\iota}(\text{init}_\tau(X))$, le second vivant donc dans $\{(0 : 1)\} \times \mathbf{P}^{2N+1}$. Comme $\deg_{(0,n+1)}(\widetilde{X}_\tau) = e_\tau(X)$ et $\deg_{(0,n)}((\widetilde{X} \cdot H)_\tau) = e_\tau(X \cdot H)$ on a, d'après le théorème de Bézout multi-projectif [**Rem01b**, Thm. 3.4],

$$\begin{aligned} \deg(H)e_\tau(X) &= \deg(H) \deg_{(0,n+1)}(\widetilde{X}_\tau) \\ &= \deg_{(0,n)}(\widetilde{X}_\tau \cdot \pi^*(H)) \\ &= \deg_{(0,n)}((\widetilde{X} \cdot H)_\tau) + \sum_{Y \in \text{Irr}(\text{init}_\tau(X))} m(\widetilde{X}_\tau \cdot \pi^*(H); \tilde{\iota}(Y)) \cdot \deg(Y) \\ &= e_\tau(X \cdot H) + \sum_{Y \in \text{Irr}(\text{init}_\tau(X))} m(\widetilde{X}_\tau \cdot \pi^*(H); \tilde{\iota}(Y)) \cdot \deg(Y) . \end{aligned}$$

Notons finalement que le morphisme

$$\begin{aligned} \pi' : \quad \mathbf{P}^1 \times \mathbf{P}^{2N+1} &\rightarrow \mathbf{P}^1 \times \mathbf{P}^N \\ ((t_0 : t_1), (x_0 : \dots : x_N : y_0 : \dots : y_N)) &\mapsto ((t_0 : t_1), (x_0 : \dots : x_N)) \end{aligned}$$

est un isomorphisme de \widetilde{X}_τ sur X_τ dans l'ouvert $t_1 \neq 0$, tel que $\pi' \circ \tilde{\iota} = \iota$ et $\pi'_*(\pi^*(H)) = \text{div}(\lambda_\tau^*(f))$. Cela entraîne, pour toute composante irréductible Y de $\text{init}_\tau(X)$,

$$m(\widetilde{X}_\tau \cdot \pi^*(H); \tilde{\iota}(Y)) = m(X_\tau \cdot \text{div}(\lambda_\tau^*(f)); \iota(Y)) .$$

□

Démonstration du théorème 0.2. — On reprend la fin de la démonstration du théorème IV.2 en se plaçant dans une carte affine contenant une composante Y de $\text{init}_\tau(X)$ et sur laquelle H est décrit par une équation f , on a

$$\begin{aligned} m(\widetilde{X}_\tau \cdot \pi^*(H); \tilde{\iota}(Y)) &= \text{long}(\overline{\mathbf{Q}}[\widetilde{X}_\tau]/(\pi^*(f)))_{\tilde{\iota}(Y)} \\ &= \text{long}(\overline{\mathbf{Q}}[X_\tau]/(\lambda_\tau^*(f)))_{\iota(Y)} \\ &= m(X_\tau \cdot \text{div}(\lambda_\tau^*(f)); \iota(Y)) \\ &= m(X_\tau \cdot H_\tau; \iota(Y)) + w_{t_0}(\lambda_\tau^*(f)) m(\text{init}_\tau(X); Y) \\ &= m(X_\tau \cdot H_\tau; \iota(Y)) + ((\tau_0 + \dots + \tau_N) \deg(H) - e_\tau(H)) m(\text{init}_\tau(X); Y) \end{aligned}$$

d'après le calcul de l'exemple IV.1. Enfin, en sommant sur toutes les composantes Y de $\text{init}_\tau(X)$ on a $\sum_Y m(\text{init}_\tau(X); Y) = \deg(\text{init}_\tau(X)) = \deg(X)$. □

Dans les notations du théorème IV.2, soit $f \in \overline{\mathbf{Q}}[x_0, \dots, x_N]$ une équation de H et $\tau \in \mathbf{R}^{N+1}$, posons

$$(IV.9) \quad v_{X,\tau}(f) := \frac{1}{\deg(X)} \cdot (e_\tau(X \cdot H) - e_\tau(X) \deg(H)) ,$$

c'est une fonction continue de τ . Lorsque $\tau \in \mathbf{N}^{N+1}$ on a donc par le théorème IV.2

$$v_{X,\tau}(f) = - \sum_{Y \in \text{Irr}(\text{init}_\tau(X))} m(\widetilde{X}_\tau \cdot \pi^*(H); \tilde{\iota}(Y)) \cdot \frac{\deg(Y)}{\deg(X)} .$$

Toujours dans ce cas, on vérifie $v_{X,k\tau}(f) = kv_{X,\tau}(f)$ pour tout $k \in \mathbf{N}^\times$ et $v_{X,\tau+\tau'(1,\dots,1)}(f) = v_{X,\tau}(f) - \tau' \deg(H)$ pour $\tau' \in \mathbf{N}$. On peut donc écrire en général (c.-à-d. pour $\tau \in \mathbf{R}^{N+1}$)

l'égalité

$$e_\tau(X \cdot H) = e_\tau(X) \deg(H) + v_{X,\tau}(f) \deg(X)$$

avec la propriété

$$v_{X,\tau}(f) = \lim_{k \rightarrow \infty} \frac{1}{k} v_{X,[k(\tau - \tau'(1, \dots, 1))]}(f) + \tau' \deg(H)$$

où $\tau' := \min(\tau_0, \dots, \tau_N)$ et $[\cdot]$ désigne le vecteur des parties entières dans \mathbf{N}^{N+1} .

Dans le cas d'une variété torique $X_{\mathcal{A},\alpha}$ le poids de Chow $e_\tau(X_{\mathcal{A},\alpha}) = e_\tau(X_{\mathcal{A}})$ s'exprime naturellement en termes d'un polytope construit à l'aide du vecteur τ , au-dessus du polytope $Q_{\mathcal{A}}$ déjà introduit au paragraphe I.

Proposition IV.3. — ([PS04, Prop. III.1]) — *Avec les notations introduites on suppose $\mathbf{Z}a_0 + \dots + \mathbf{Z}a_N = \mathbf{Z}^n$. Soit $Q_{\mathcal{A},\tau}$ l'enveloppe convexe des points $(a_0, \tau_0), \dots, (a_N, \tau_N)$ dans \mathbf{R}^{n+1} et $\vartheta_{\mathcal{A},\tau} : Q_{\mathcal{A}} \rightarrow \mathbf{R}$ la paramétrisation de la toiture de $Q_{\mathcal{A},\tau}$ au-dessus de $Q_{\mathcal{A}}$, alors*

$$e_\tau(X_{\mathcal{A}}) = (n+1)! \int_{Q_{\mathcal{A}}} \vartheta_{\mathcal{A},\tau}(u) du_1 \dots du_n .$$

La démonstration qu'on donne de cette proposition dans [PS04, § III] est basée sur un calcul explicite des poids de Hilbert des variétés toriques; nous y montrons également qu'on peut l'obtenir comme conséquence des résultats de I.M. Gelfand, M.M. Kapranov et A.V. Zelevinski sur le polytope de Newton du \mathcal{A} -résultant [GKZ94, Ch. 7 et 8]. Elle est également implicite dans [Don02, § 4.2]. L'interprétation ci-dessus du poids de Chow comme bi-degré permet d'en donner encore une autre démonstration simple et directe :

Démonstration. — Tout d'abord on remarque qu'il suffit de démontrer l'énoncé pour un choix générique (au sens de Zariski) du vecteur τ dans \mathbf{Q}^{N+1} , puisque les termes considérés sont continus par rapport à τ . L'identité étant invariante par homothéties et translations, on peut se ramener à supposer $\tau \in \mathbf{N}^{N+1}$ à coordonnées premières entre elles dans leur ensemble.

On a $L_{\mathcal{A},\tau} = \mathbf{Z}^{n+1}$; la proposition I.2 entraîne alors

$$e_\tau(X) = \deg_{(0,n+1)}(\tilde{X}_\tau) = \text{MV}_{n+1}(Q_{\mathcal{A},\tilde{\tau}}, \dots, Q_{\mathcal{A},\tilde{\tau}}) = (n+1)! \int_{Q_{\mathcal{A}}} \vartheta_{\mathcal{A},\tau}(u) du_1 \dots du_n ,$$

où $\tilde{\tau} = (\tau_0, \dots, \tau_N, 0, \dots, 0) \in \mathbf{N}^{2N+2}$. □

La proposition IV.3 permet de reformuler de façon amusante le théorème du sous-espace de Schmidt, dans la version projective qu'en ont donné Evertse et Ferretti [EF02] mais dans le cas très particulier des variétés toriques.

Convention IV.4. — *Si K est un corps de nombres et v une place de K on notera $|\cdot|_v$ la valeur absolue de K dans v étendant la valeur absolue usuelle de \mathbf{Q} si v est archimédienne et la valeur absolue p -adique standard de \mathbf{Q} (i.e. $|p|_v = p^{-1}$) si v est ultramétrique. On notera encore M_K l'ensemble de ces valeurs absolues représentant les places de K .*

Soit K un corps de nombres et S un ensemble fini de places de K . On considère une variété torique $X_{\mathcal{A},\alpha} \subset \mathbf{P}^N$ définie sur K , pour toute place $v \in S$ des réels $\tau_{v,0}, \dots, \tau_{v,N} \geq 0$ et le système d'inéquations en $x \in X_{\mathcal{A},\alpha}(\overline{\mathbf{Q}})$:

$$(IV.10) \quad \log \left(\frac{|x_i|_w}{\|x\|_w} \right) \leq -\tau_{v,i} \cdot h(x) \quad \text{pour tout } i = 0, \dots, N \text{ et toute place } w \mid v \text{ de } K(x),$$

où $\|x\|_w := \max(|x_i|_w; i = 0, \dots, N)$ si w est ultramétrique, $\|x\|_w = \left(\sum_{i=0}^N |x_i|_w^2\right)^{1/2}$ si w est archimédienne, et $h(x)$ désigne la hauteur projective.

Dans cette situation notons $\vartheta_{\mathcal{A},\tau}(u) := \sum_{v \in S} \frac{[K_v : \mathbf{Q}_v]}{[K : \mathbf{Q}]} \cdot \vartheta_{\mathcal{A},\tau_v}(u)$ pour $u \in Q_{\mathcal{A}}$. Le théorème 3.2 de [EF02] explicite pour tout $\varepsilon > 0$ des réels

$$c_1(N, n, \deg(X_{\mathcal{A},\alpha}), \varepsilon) , \quad c_2(N, n, \deg(X_{\mathcal{A},\alpha}), \varepsilon) \geq 1$$

tels que l'énoncé suivant soit vrai ($\tau_v := (\tau_{v,0}, \dots, \tau_{v,N})$, $v \in S$) :

Théorème IV.5. — ([EF02], Thm. 3.2) – Si la valeur moyenne de $\vartheta_{\mathcal{A},\tau}$ sur $Q_{\mathcal{A}}$ est $\geq 1 + \varepsilon$, alors les points $x \in X_{\mathcal{A},\alpha}(\overline{\mathbf{Q}})$ solutions du système d'inéquations (IV.10) et satisfaisant

$$h(x) \geq c_1(N, n, \deg(X_{\mathcal{A},\alpha}), \varepsilon) \cdot (1 + h(X_{\mathcal{A},\alpha}))$$

appartiennent à un sous-ensemble algébrique propre de $X_{\mathcal{A},\alpha}$, défini sur K et de degré $\leq c_2(N, n, \deg(X_{\mathcal{A},\alpha}), \varepsilon)$.

Démonstration. — Notons $X = X_{\mathcal{A},\alpha}$, la condition donnée dans le théorème 3.2 de [EF02] s'écrit

$$\frac{1}{(n+1) \deg(X)} \cdot \sum_{v \in S} \frac{[K_v : \mathbf{Q}_v]}{[K : \mathbf{Q}]} \cdot e_{\tau_v}(X) \geq 1 + \varepsilon .$$

Or $\deg(X) = n! \text{Vol}_n(Q_{\mathcal{A}})$ d'après la formule (I.2) et, vue la proposition IV.3, on a

$$\sum_{v \in S} \frac{[K_v : \mathbf{Q}_v]}{[K : \mathbf{Q}]} \cdot \frac{e_{\tau_v}(X)}{(n+1) \deg(X)} = \frac{1}{\text{Vol}_n(Q_{\mathcal{A}})} \cdot \int_{Q_{\mathcal{A}}} \vartheta_{\mathcal{A},\tau}(u) du_1 \dots du_n$$

qui est bien la valeur moyenne de $\vartheta_{\mathcal{A},\tau}$ au-dessus $Q_{\mathcal{A}}$. □

Le résultat trivial, provenant de la formule du produit, permet d'affirmer que le système (IV.10) n'a pas de solution dans $\mathbf{P}_N^{\circ}(\overline{\mathbf{Q}})$ dès qu'il existe $i \in \{0, \dots, N\}$ tel que

$$\sum_{v \in S} \frac{[K_v : \mathbf{Q}_v]}{[K : \mathbf{Q}]} \cdot \tau_{v,i} > 1 .$$

On donne un exemple où ce résultat trivial s'applique bien que la condition du théorème IV.5 ne soit pas remplie et un autre exemple où le théorème IV.5 donne un résultat non trivial.

Exemple IV.6. — Soient $0 < \varepsilon < n + 1$, $\mathcal{A} \subset \mathbf{Z}^n$ et τ_v tels que $\tau_{v,i} = 0$ pour tout $v \in S$ et $i = 1, \dots, N$ et $\sum_{v \in S} \frac{[K_v : \mathbf{Q}_v]}{[K : \mathbf{Q}]} \tau_{v,0} = 1 + \varepsilon > 1$. On calcule à l'aide de la proposition IV.3 $e_{\tau_v}(X_{\mathcal{A}}) \leq \deg(X_{\mathcal{A}}) \cdot \tau_{v,0}$, d'où $\sum_{v \in S} \frac{[K_v : \mathbf{Q}_v]}{[K : \mathbf{Q}]} \cdot \frac{e_{\tau_v}(X_{\mathcal{A}})}{(n+1) \deg(X_{\mathcal{A}})} \leq \frac{1+\varepsilon}{n+1} < 1$. On sait donc que dans ce cas le système d'inéquations (IV.10) n'a pas de solution telle que $x_0 \neq 0$, bien que l'hypothèse principale du théorème IV.5 ne soit pas satisfaite.

Exemple IV.7. — Soit maintenant $N' > 3$ un entier, $N := 2N'$ et $D > N'(N' - 1)$ un autre entier. On considère $\mathcal{A} := (0, \dots, N' - 1, D - N' + 1, \dots, D) \in \mathbf{Z}$ et $S = \{v_1, \dots, v_{N'}\}$ un ensemble de N' places de \mathbf{Q} . À chaque place v_i de S on associe le vecteur $\tau_{v_i} \in \mathbf{R}^{N+1}$ dont toutes les coordonnées sont nulles sauf celles d'indices i et $D - N' + i$ qui valent $\frac{1}{N'-1}$. On a ainsi $e_{\tau_{v_i}}(X_{\mathcal{A}}) \geq 2 \frac{D - N' + 1}{N' - 1}$ et $\sum_{v \in S} \frac{[K_v : \mathbf{Q}_v]}{[K : \mathbf{Q}]} \cdot \frac{e_{\tau_v}(X_{\mathcal{A}})}{(n+1) \deg(X_{\mathcal{A}})} \geq \frac{D - N' + 1}{D} \cdot \frac{N'}{N' - 1} > 1$, tandis que $\sum_{v \in S} \tau_{v,i} = \frac{1}{N' - 1} < 1$ pour tout $i = 0, \dots, N$. Le théorème IV.5 s'applique donc et donne un résultat a priori non trivial dans ce cas.

V. Hauteurs normalisées

Rappelons la convention IV.4 sur les valeurs absolues des corps de nombres que nous avons faite au paragraphe précédent.

L'espace projectif peut être vu comme une compactification équivariante du groupe multiplicatif $\mathbf{G}_m^N \simeq (\mathbf{P}^N)^\circ := \mathbf{P}^N \setminus \{(x_0 : \cdots : x_N) : x_0 \cdots x_N = 0\}$, cette structure de groupe sur $(\mathbf{P}^N)^\circ$ permet de définir une notion de hauteur pour les sous-variétés de \mathbf{P}^N plus canonique que les autres, appelée *hauteur normalisée*. Cette notion joue un rôle central dans l'approximation diophantienne sur les tores, et tout particulièrement dans les problèmes de Bogomolov et de Lehmer généralisés, voir [DP99], [AD02] et leurs références, voir également [Dav03] pour un aperçu historique.

Suivant [DP99], la hauteur normalisée peut se définir par un procédé « à la Tate ». De façon précise, pour $k \in \mathbf{N}$ on pose $[k] : \mathbf{P}^N \rightarrow \mathbf{P}^N$, $(x_0 : \cdots : x_N) \mapsto (x_0^k : \cdots : x_N^k)$ l'application puissance k -ième; restreinte au tore $(\mathbf{P}^N)^\circ$ c'est l'application de multiplication par k . La hauteur normalisée d'une sous-variété $X \subset \mathbf{P}^N$ est par définition

$$\hat{h}(X) := \deg(X) \cdot \lim_{k \rightarrow \infty} \frac{h([k]X)}{k \deg([k]X)} \in \mathbf{R}_+ ,$$

où \deg et h désignent le degré et la hauteur projective, voir [DP99, § 2] ou [PS04, § I.2]. Lorsque X est de dimension 0 il s'agit de la hauteur de Gauss-Weil des points.

On sait que le comportement de cette hauteur normalisée dépend de la nature géométrique de la variété X . En particulier, $\hat{h}(X) = 0$ si et seulement si X est une variété de torsion, c.-à-d. un translaté de sous-groupe algébrique par un point de torsion.

Théorème V.1. — ([PS04], *Thm. 0.1*) – Soit $\mathcal{A} \in (\mathbf{Z}^n)^{N+1}$ tel que $L_{\mathcal{A}} = \mathbf{Z}^n$, K un corps de nombres et $\alpha \in (K^\times)^{N+1}$. Pour toute place v de K , on considère le poids $\tau_{\alpha v} := (\log |\alpha_0|_v, \dots, \log |\alpha_N|_v)$, le polytope $Q_{\mathcal{A}, \tau_{\alpha v}} := \text{Conv}((a_0, \log |\alpha_0|_v), \dots, (a_N, \log |\alpha_N|_v)) \subset \mathbf{R}^{n+1}$ et on note $\vartheta_{\mathcal{A}, \tau_{\alpha v}} : Q_{\mathcal{A}} \rightarrow \mathbf{R}$ la paramétrisation de la toiture de $Q_{\mathcal{A}, \tau_{\alpha v}}$ au-dessus de $Q_{\mathcal{A}}$. Alors

$$\hat{h}(X_{\mathcal{A}, \alpha}) = \sum_{v \in M_K} \frac{[K_v : \mathbf{Q}_v]}{[K : \mathbf{Q}]} e_{\tau_{\alpha v}}(X_{\mathcal{A}}) = (n+1)! \sum_{v \in M_K} \frac{[K_v : \mathbf{Q}_v]}{[K : \mathbf{Q}]} \int_{Q_{\mathcal{A}}} \vartheta_{\mathcal{A}, \tau_{\alpha v}}(u) du_1 \cdots du_n .$$

Comme on a $\hat{h}(X_{\mathcal{A}}) = 0$, on peut s'interroger si la formule du théorème V.1 n'est pas la manifestation d'une propriété générale de la hauteur normalisée par translation. Dans ce sens, B. Sturmfels nous a demandé s'il existe une formule valable pour toute sous-variété algébrique de \mathbf{P}^N du type

$$\hat{h}(\alpha X) = \hat{h}(X) + \sum_{v \in M_K} \frac{[K_v : \mathbf{Q}_v]}{[K : \mathbf{Q}]} e_{\tau_{\alpha v}}(X) ?$$

Soit $\prod_{i=0}^n \prod_{j=0}^N U_{i,j}^{b_{i,j}}$ un monôme apparaissant dans la forme de Chow de X , on vérifie facilement

$$e_{\tau_{\alpha v}}(X) \geq \left(\sum_{i=0}^n b_{i,0} \right) \tau_{\alpha v,0} + \cdots + \left(\sum_{i=0}^n b_{i,N} \right) \tau_{\alpha v,N} .$$

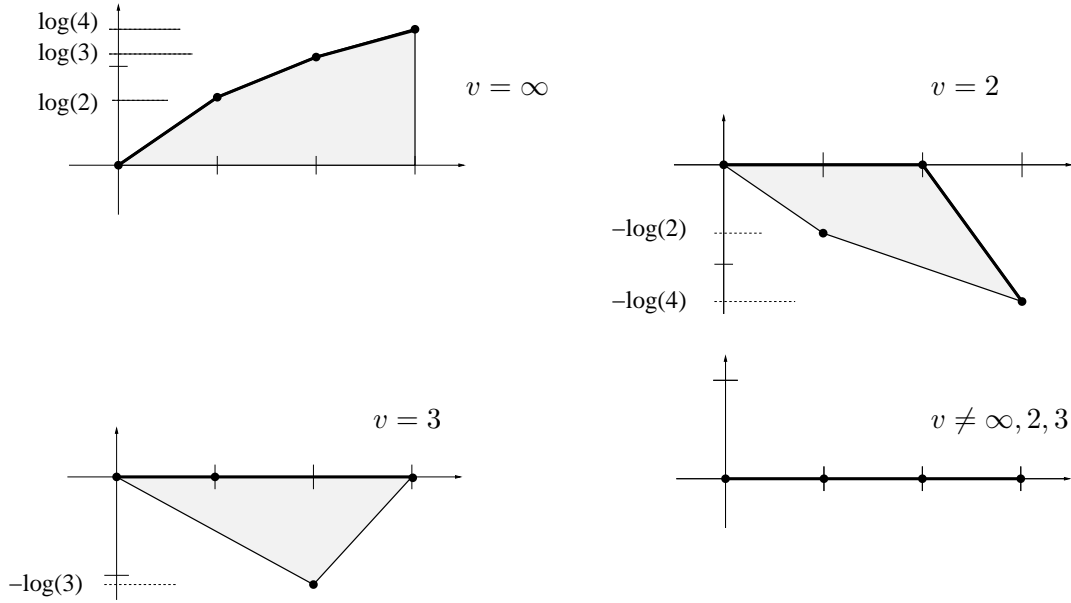
Comme $\sum_{v \in M_K} \frac{[K_v : \mathbf{Q}_v]}{[K : \mathbf{Q}]} \tau_{\alpha v,i} = 0$ pour $i = 0, \dots, N$ par la formule du produit, on en déduit $\sum_{v \in M_K} \frac{[K_v : \mathbf{Q}_v]}{[K : \mathbf{Q}]} e_X(\tau_{\alpha v}) \geq 0$ pour tout $\alpha \in (\overline{\mathbf{Q}}^\times)^{N+1}$. Une formule du type précédent ne peut donc être valable en général.

Corollaire V.2. — ([PS04], Cor. III.8) — Avec les notations du théorème on a

$$\hat{h}(X_{\mathcal{A},\alpha}) + \hat{h}(X_{-\mathcal{A},\alpha^{-1}}) = (n+1)! \sum_{v \in M_K} \frac{[K_v : \mathbf{Q}_v]}{[K : \mathbf{Q}]} \text{Vol}_{\mathbf{R}^{n+1}}(Q_{\mathcal{A},\tau_{\alpha v}}) .$$

Exemple V.3. — — Dans le cas des courbes ($n = 1$) on peut dessiner.

Considérons $\mathcal{A}_N := (0, 1, 2, \dots, N) \in \mathbf{Z}^{N+1}$ et $\alpha_N := (1, 2, 3, \dots, N+1) \in (\overline{\mathbf{Q}}^\times)^{N+1}$; ainsi $\varphi_{\mathcal{A}_N, \alpha_N} : s \mapsto (1 : 2s : \dots : (N+1)s^N)$. Les figures suivantes montrent pour $N = 3$, les polytopes associés et leurs toitures, pour chaque place $v \in M_{\mathbf{Q}}$:



Ainsi $\vartheta_v \equiv 0$ pour $v \neq \infty, 2$, d'où

$$\hat{h}(X_{\mathcal{A}_3, \alpha_3}) = 2! \left(\int_0^3 \vartheta_\infty(u) du + \int_0^3 \vartheta_2(u) du \right) = 2 \log(2) + 2 \log(3) = \log(36) .$$

En général on a

$$\begin{aligned} \hat{h}(X_{\mathcal{A}_N, \alpha_N}) &= 2! \left(\int_0^N \vartheta_\infty(u) du + \sum_{p|N+1} \int_0^N \vartheta_p(u) du \right) \\ &= 2 \left(\log(2) + \dots + \log(N) + \frac{1}{2} \log(N+1) + \sum_{p|N+1} \frac{1}{2} \log |N+1|_p \right) \\ &= 2 \log(N!) . \end{aligned}$$

À l'instar des multidegrés, les multihauteurs du tore \mathbf{G}_m^n plongé dans un produit d'espaces projectifs *via* plusieurs applications monomiales peuvent aussi s'expliquer à l'aide d'intégrales mixtes des fonctions concaves apparaissant dans le théorème V.1.

Soit $Z \subset \mathbf{P}^{N_0} \times \dots \times \mathbf{P}^{N_m}$ de dimension n et $c = (c_0, \dots, c_m) \in \mathbf{N}_{n+1}^{m+1}$ avec $0 \leq c_i \leq N_i$, la multihauteur projective de Z d'indice c est définie, dans les notations du paragraphe I, par

$$h_c(Z) := h(\text{rés}_{d(c)}(I(Z))) .$$

On renvoie à nouveau à [Rem01a] ou encore [PS04, § I.2] pour cette définition.

Notons $s : \mathbf{P}^{N_0} \times \dots \times \mathbf{P}^{N_m} \rightarrow \mathbf{P}^{(N_0+1)\dots(N_m+1)-1}$ le plongement de Segre, on montre (voir [PS04, § I.2]) que la suite

$$k \mapsto \deg(s(Z)) \cdot \frac{h_c([k]Z)}{k \deg([k]s(Z))}$$

converge lorsque k tend vers l'infini, et définit la *multihauteur normalisée* de Z d'indice c , notée $\widehat{h}_c(Z) \in \mathbf{R}_+$.

Soit $D = (D_0, \dots, D_m) \in (\mathbf{N}^\times)^{m+1}$ et $\Psi_D : \mathbf{P}^{N_0} \times \dots \times \mathbf{P}^{N_m} \rightarrow \mathbf{P}^{\binom{D_0+N_0}{N_0}\dots\binom{D_m+N_m}{N_m}-1}$ le plongement mixte introduit au paragraphe I, on a

$$(V.11) \quad \widehat{h}(\Psi_D(Z)) = \sum_{c \in \mathbf{N}_{n+1}^{m+1}} \binom{n+1}{c} \widehat{h}_c(Z) D^c .$$

On définit maintenant l'intégrale mixte d'une famille de fonctions concaves (voir [PS04, § IV.3]); cette notion est analogue au volume mixte. Soient $f : Q \rightarrow \mathbf{R}$ et $g : R \rightarrow \mathbf{R}$ des fonctions concaves définies sur des ensembles convexes $Q, R \subset \mathbf{R}^n$ respectivement. On pose

$$f \boxplus g : Q + R \rightarrow \mathbf{R} , \quad x \mapsto \max\{f(y) + g(z) : y \in Q, z \in R, y + z = x\} ,$$

qui est une fonction concave définie sur la somme de Minkowski $Q + R$; on obtient ainsi une structure de semi-groupe commutatif sur l'ensemble des fonctions concaves (définies sur des convexes).

Définition V.4. — Pour une famille de fonctions concaves $f_0 : Q_0 \rightarrow \mathbf{R}, \dots, f_n : Q_n \rightarrow \mathbf{R}$ l'intégrale mixte (ou multi-intégrale) est définie via la formule

$$\text{MI}(f_0, \dots, f_n) := \sum_{j=0}^n (-1)^{n-j} \sum_{0 \leq i_0 < \dots < i_j \leq n} \int_{Q_{i_0} + \dots + Q_{i_j}} (f_{i_0} \boxplus \dots \boxplus f_{i_j})(u) du_1 \dots du_n .$$

Comme pour le volume mixte, l'intégrale mixte est une fonctionnelle positive, symétrique et linéaire en chaque variable f_i , voir [PS04, § IV.3].

Soit $\mathcal{A}_0 \in (\mathbf{Z}^n)^{N_0+1}, \dots, \mathcal{A}_m \in (\mathbf{Z}^n)^{N_m+1}$ tels que $L_{\mathcal{A}_0} + \dots + L_{\mathcal{A}_m} = \mathbf{Z}^n$ et $\underline{\mathcal{A}} := (\mathcal{A}_0, \dots, \mathcal{A}_m)$. Soit aussi K un corps de nombres, $\alpha_0 \in (K^\times)^{N_0+1}, \dots, \alpha_m \in (K^\times)^{N_m+1}$ et posons $\underline{\alpha} := (\alpha_0, \dots, \alpha_m)$. Considérons alors l'action monomiale $*_{\underline{\mathcal{A}}}$ de \mathbf{G}_m^n sur le produit d'espaces projectifs $\mathbf{P}^{N_0} \times \dots \times \mathbf{P}^{N_m}$ associée. On note $X_{\underline{\mathcal{A}}, \underline{\alpha}}$ l'adhérence de Zariski de l'orbite du point $\underline{\alpha} \in \mathbf{P}^{N_0} \times \dots \times \mathbf{P}^{N_m}$.

Pour chaque $v \in M_K$ on note aussi $\vartheta_{\mathcal{A}_i, \tau_{\alpha_i} v} : Q_{\mathcal{A}_i} \rightarrow \mathbf{R}$ la fonction paramétrant la toiture du polytope $Q_{\mathcal{A}_i, \tau_{\alpha_i} v} \subset \mathbf{R}^{n+1}$ associé au vecteur \mathcal{A}_i et au poids $\tau_{\alpha_i} v$.

Théorème V.5. — [PS04, Thm. 0.3 et Rem. IV.7]— Soit $c \in \mathbf{N}_{n+1}^{m+1}$, dans la situation ci-dessus on a

$$\widehat{h}_c(X_{\underline{\mathcal{A}}, \underline{\alpha}}) = \sum_{v \in M_K} \frac{[K_v : \mathbf{Q}_v]}{[K : \mathbf{Q}]} \text{MI}_c(\vartheta_{\underline{\mathcal{A}}, \tau_{\underline{\alpha}} v})$$

avec $\text{MI}_c(\vartheta_{\underline{\mathcal{A}}, \tau_{\underline{\alpha}} v}) := \text{MI}\left(\underbrace{\vartheta_{\mathcal{A}_0, \tau_{\alpha_0} v}, \dots, \vartheta_{\mathcal{A}_0, \tau_{\alpha_0} v}}_{c_0 \text{ fois}}, \dots, \underbrace{\vartheta_{\mathcal{A}_n, \tau_{\alpha_n} v}, \dots, \vartheta_{\mathcal{A}_n, \tau_{\alpha_n} v}}_{c_n \text{ fois}}\right)$.

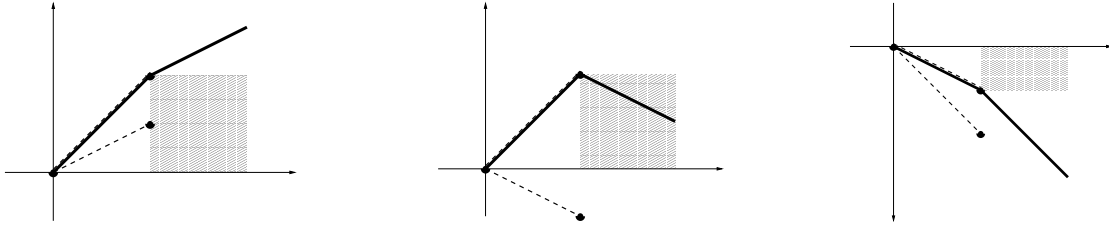
Exemple V.6. — Illustrons ce résultat sur un exemple, soit $\xi_1, \dots, \xi_N \in K^\times$ et considérons l'application monomiale

$$\begin{aligned} \varphi : \mathbf{G}_m &\longrightarrow (\mathbf{P}^1)^N && \longrightarrow \mathbf{P}^{2^N-1} \\ s &\longmapsto ((1 : \xi_1 s), \dots, (1 : \xi_N s)) && \longmapsto (\dots : \xi_{i_1} \dots \xi_{i_\nu} s^\nu : \dots)_{\substack{1 \leq i_1 < \dots < i_\nu \leq N \\ 0 \leq \nu \leq N}} \end{aligned}$$

Soit X l'image de φ dans $(\mathbf{P}^1)^N$ et pour $1 \leq i, j \leq N$ notons $c(i, j) \in \mathbf{N}^N$ le vecteur dont les coordonnées d'indices i et j valent 1 et les autres 0, on vérifie à l'aide du théorème V.5

$$\begin{aligned} \hat{h}_{c(i,j)}(X) &= \sum_{v \in M_K} \frac{[K_v : \mathbf{Q}_v]}{[K : \mathbf{Q}]} \text{MI}_c(\vartheta_{\underline{A}, \tau_{\alpha v}}) \\ &= \sum_{v \in M_K} \frac{[K_v : \mathbf{Q}_v]}{[K : \mathbf{Q}]} \max(\log |\xi_i|_v; \log |\xi_j|_v) \\ &= h((\xi_i : \xi_j)) . \end{aligned}$$

Dans la figure suivante les parties grisées montrent (pour $N = 2$ et en supposant $\log |\xi_i| \leq \log |\xi_j|$) pour chaque cas le calcul de la multi-intégrale $\text{MI}_c(\vartheta_{\underline{A}, \tau_{\alpha v}})$.



On en déduit que la hauteur de l'image $s(X)$ de φ dans \mathbf{P}^{2^N-1} est égale à

$$\hat{h}(s(X)) = 2 \sum_{1 \leq i < j \leq N} \hat{h}_{c(i,j)}(X) = 2 \sum_{1 \leq i < j \leq N} h((\xi_i : \xi_j)) = \sum_{1 \leq i, j \leq N} h((\xi_i : \xi_j)) .$$

Une conséquence du théorème V.1 est que $\hat{h}(X_{\mathcal{A}, \alpha})$ est le logarithme d'un nombre algébrique. En effet, on a $e_{\tau_{\alpha v}}(X_{\mathcal{A}}) = 0$ pour toutes les places v sauf un nombre fini et, comme le poids de Chow est combinaison à coefficients entiers des composantes du vecteur poids $\tau_{\alpha v}$, c'est à dire des $\log |\alpha|_v$, notre assertion est claire. On peut donc énoncer :

Proposition V.7. — Si $\hat{h}(X_{\mathcal{A}, \alpha}) \neq 0$ alors $\hat{h}(X_{\mathcal{A}, \alpha})$ est transcendant sur \mathbf{Q} .

Les hauteurs normalisées des variétés toriques qui ne sont pas de torsion, sont donc des nombres transcendants parmi les plus simples que l'on connaît, à savoir les logarithmes de nombres algébriques. On sait qu'il devrait résulter des conjectures les plus générales sur les variétés et les motifs que les hauteurs des variétés projectives s'expriment rationnellement en termes de valeurs de fonctions L et de leurs dérivées, ou encore en termes de polylogarithmes.

Dès qu'on considère des variétés projectives qui ne sont plus toriques on doit s'attendre à ce que leur hauteur normalisée fasse effectivement intervenir des polylogarithmes supérieurs. De même, si l'on s'intéresse à la hauteur projective (et non plus normalisée, voir par exemple [Rem01b] pour la définition) d'une variété torique une quantité supplémentaire s'ajoute aux volumes des polytopes $Q_{\mathcal{A}, \tau_{\alpha v}}$, qui s'écrit bien sur des exemples à l'aide de polylogarithmes mais est en général difficile à évaluer exactement.

VI. Sur le théorème des minimums successifs

Soit $X \subset \mathbf{P}^N$ une variété quasi-projective de dimension n quelconque. Le i -ème *minimum de la hauteur normalisée* sur X est défini par

$$\widehat{\mu}_i(X) := \sup \left\{ \inf \{ \widehat{h}(\xi) : \xi \in (X \setminus Y)(\overline{\mathbf{Q}}) \} : Y \subset X, \text{codim}_X(Y) = i \right\}$$

pour $i = 1, \dots, n+1$, où le supremum est pris sur toutes les sous-variétés Y de codimension i dans X . On écrit $\widehat{\mu}^{\text{ess}}(X) := \widehat{\mu}_1(X)$ et $\widehat{\mu}^{\text{abs}}(X) := \widehat{\mu}_{n+1}(X)$ pour les minimums *essentiel* et *absolu* respectivement, et on a $\widehat{\mu}_1(X) \geq \dots \geq \widehat{\mu}_{n+1}(X) \geq 0$.

La répartition des hauteurs des points algébriques d'une variété *fermée* $X \subset \mathbf{P}^N$ est en relation avec sa hauteur, le lien est donné par le *théorème des minimums successifs* de S.-W. Zhang [**Zha95**, Thm. 5.2 et Lem. 6.5(3)] ($n = \dim(X)$) :

$$(VI.12) \quad \widehat{\mu}_1(X) + \dots + \widehat{\mu}_{n+1}(X) \leq \frac{\widehat{h}(X)}{\deg(X)} \leq (n+1)\widehat{\mu}_1(X) .$$

On étudie ici la relation entre hauteur et minimums successifs des sous-variétés toriques de \mathbf{P}^N .

Soit $\mathcal{A} := (a_0, \dots, a_N) \in (\mathbf{Z}^n)^{N+1}$ et $\alpha := (\alpha_0, \dots, \alpha_N) \in (\overline{\mathbf{Q}}^\times)^{N+1}$, de sorte que $X_{\mathcal{A},\alpha}^\circ = \alpha \cdot X_{\mathcal{A}}^\circ$, c.-à-d. que $X_{\mathcal{A},\alpha}^\circ$ est le translaté du sous-tore $X_{\mathcal{A}}^\circ$ par le point $\alpha \in \mathbf{G}_m^N$. Ainsi $\alpha \cdot \text{Tors}(X_{\mathcal{A}}^\circ)$ est un sous-ensemble de points de hauteur normalisée $\widehat{h}(\alpha)$, dense dans $X_{\mathcal{A},\alpha}^\circ$ et donc $\widehat{\mu}^{\text{ess}}(X_{\mathcal{A},\alpha}^\circ) \leq \widehat{h}(\alpha)$. En fait

$$(VI.13) \quad \widehat{\mu}^{\text{ess}}(X_{\mathcal{A},\alpha}^\circ) = \inf \{ \widehat{h}(\beta) : X_{\mathcal{A},\alpha}^\circ = \beta \cdot X_{\mathcal{A}}^\circ \} = \widehat{\mu}^{\text{abs}}(X_{\mathcal{A},\alpha}^\circ) .$$

L'expression (VI.13) ci-dessus mise avec la décomposition en orbites (I.4) de $X_{\mathcal{A},\alpha}$ sous l'action $*_{\mathcal{A}}$ montrent que pour $i = 1, \dots, n+1$

$$\widehat{\mu}_i(X_{\mathcal{A},\alpha}) = \min \{ \widehat{\mu}^{\text{abs}}(X_{\mathcal{A},\alpha,P}^\circ) : P \in F(Q_{\mathcal{A}}), \dim(P) \geq n-i+1 \} .$$

Chaque orbite $X_{\mathcal{A},\alpha,P}^\circ$ est une variété monomiale, et donc le calcul des minimums successifs se réduit à celui du minimum essentiel (ou absolu) sur chaque ouvert $X_{\mathcal{A},\alpha,P}^\circ$.

Le lemme suivant donne le minimum absolu pour certains (\mathcal{A}, α) (très particuliers), il serait très intéressant d'obtenir des formules valables pour (\mathcal{A}, α) quelconque (*voir* dans ce sens la proposition VI.3 ci-après pour le cas des hypersurfaces).

Lemme VI.1. — *On suppose qu'il existe $a \in \text{Supp}(\mathcal{A}) \subset \mathbf{Z}^n$ tel que pour toute place v de $\overline{\mathbf{Q}}$ le maximum des $|\alpha_i|_v$, $i = 0, \dots, N$, est atteint au-dessus de a (i.e. $\max_{0 \leq i \leq N} (|\alpha_i|_v) = \max_{\ell: a_\ell = a} (|\alpha_\ell|_v)$), alors $\widehat{\mu}^{\text{ess}}(X_{\mathcal{A},\alpha}^\circ) = \widehat{\mu}^{\text{abs}}(X_{\mathcal{A},\alpha}^\circ) = \widehat{h}(\alpha)$.*

Démonstration. — Soit

$$\xi = (\alpha_0 s_0^{a_0} : \dots : \alpha_N s_0^{a_N}) \in X_{\mathcal{A},\alpha}^\circ$$

un point quelconque, ℓ_0, \dots, ℓ_M les indices tels que $a_\ell = a$ et $\varpi : \mathbf{P}^N \rightarrow \mathbf{P}^M$ la projection $x \mapsto (x_{\ell_0} : \dots : x_{\ell_M})$. Alors $\varpi(\xi) = (\alpha_{\ell_0} s_0^a : \dots : \alpha_{\ell_M} s_0^a) = (\alpha_{\ell_0} : \dots : \alpha_{\ell_M})$ et donc

$$\widehat{h}(\xi) \geq \widehat{h}(\varpi(\xi)) = \widehat{h}(\alpha_{\ell_0} : \dots : \alpha_{\ell_M}) ,$$

et $\widehat{h}(\alpha_{\ell_0} : \dots : \alpha_{\ell_M}) = \widehat{h}(\alpha)$ grâce à l'hypothèse du lemme. D'où on conclut

$$\widehat{h}(\alpha) \geq \widehat{\mu}^{\text{ess}}(X_{\mathcal{A},\alpha}^\circ) = \widehat{\mu}^{\text{abs}}(X_{\mathcal{A},\alpha}^\circ) \geq \widehat{h}(\alpha) .$$

□

À l'aide de ce lemme et du théorème V.1, construisons des exemples montrant que les estimations dans (VI.12) sont optimales.

Proposition VI.2. — Soit $n \geq 1$, $N \geq 3n + 2$, $\xi > 1$ des entiers, $\mu_1 \geq \dots \geq \mu_{n+1} \geq 0$, $0 < \varepsilon_1, \varepsilon_2 < 1$ et $\nu \in [\mu_1 + \dots + \mu_{n+1}, (n+1)\mu_1[$ des réels, alors il existe une extension kummerienne $K = \mathbf{Q}(\xi^{\frac{1}{\ell}})$ de degré $\ell \leq [\varepsilon_1^{-1} \log(\xi)] + 1$ sur \mathbf{Q} et une variété projective $X \subset \mathbf{P}^N(K)$, définie sur K , satisfaisant $\deg(X) = ([\varepsilon_2^{-1}] + 1)^n$, $0 \leq \mu_i - \widehat{\mu}_i(X) < \varepsilon_1$ pour $i = 1, \dots, n+1$ et

$$\left| \frac{\widehat{h}(X)}{\deg(X)} - \nu \right| < \varepsilon_2 n^2 \mu_1 .$$

Démonstration. — Il suffit de traiter le cas $N = 3n + 2$. Soit e_1, \dots, e_n la base canonique de \mathbf{Z}^n et $m = [\varepsilon_2^{-1}] + 1$, on note $a_i := me_i$, $i = 1, \dots, n$ et on considère $b_0, \dots, b_n \in \mathbf{Z}^n$ dans $\text{Conv}(0, a_1, \dots, a_n) \setminus \text{Conv}(a_1, \dots, a_n)$ tels que $\mathbf{Z}a_1 + \dots + \mathbf{Z}a_n + \mathbf{Z}b_0 + \dots + \mathbf{Z}b_n = \mathbf{Z}^n$. On pose

$$\mathcal{A} = (0, a_1, \dots, a_n, 0, a_1, \dots, a_n, b_0, \dots, b_n) \in (\mathbf{Z}^n)^{3n+3} ,$$

de sorte que $L_{\mathcal{A}} = \mathbf{Z}^n$ et $\text{Conv}(Q_{\mathcal{A}}) = \text{Conv}(0, a_1, \dots, a_n)$, et $N := 3n + 2$. Soit encore $k_0 \geq \dots \geq k_n \geq 0$ les nombres rationnels tels que $Lk_i = \left[L \frac{\mu_{i+1}}{\log(\xi)} \right]$ où $L := [\varepsilon_1^{-1} \log(\xi)] + 1$, puis pour $i \in \{0, \dots, n\}$

$$\alpha = \underbrace{(1, \dots, 1)}_{n+1 \text{ fois}}, \xi^{k_0}, \xi^{k_1}, \dots, \xi^{k_n}, 1, \underbrace{\xi^{k_0}, \dots, \xi^{k_0}}_{i \text{ fois}}, \underbrace{1, \dots, 1}_{n-i \text{ fois}} \in (\overline{\mathbf{Q}}^\times)^{3n+3} .$$

On a $\deg(X_{\mathcal{A}}) = m^n$ et si $\ell \leq L$ est le plus petit dénominateur commun de k_0, \dots, k_n alors le corps de définition de $X_{\mathcal{A}, \alpha}$ est l'extension kummerienne $K := \mathbf{Q}(\xi^{\frac{1}{\ell}})$ de \mathbf{Q} . De plus, il résulte du lemme VI.1, appliqué à toutes les faces de $Q_{\mathcal{A}}$,

$$(VI.14) \quad \widehat{\mu}_j(X_{\mathcal{A}, \alpha}) = k_{j-1} \log(\xi) , \quad j = 1, \dots, n+1 .$$

On a donc $\mu_j - \widehat{\mu}_j(X_{\mathcal{A}, \alpha}) = \left(\frac{L\mu_j}{\log(\xi)} - \left[\frac{L\mu_j}{\log(\xi)} \right] \right) \cdot \frac{\log(\xi)}{L} \in [0, \varepsilon_1[$. On obtient ainsi une famille de variétés dont la dimension, le degré et les minimums algébriques successifs sont prescrits de façon arbitraire (à des approximations près). Choisissons un réel

$$(k_0 + \dots + k_n) \log(\xi) \leq \nu < (n+1)k_0 \log(\xi)$$

dans l'intervalle autorisé par (VI.12) pour le quotient $\frac{\widehat{h}(X_{\mathcal{A}, \alpha})}{\deg(X_{\mathcal{A}, \alpha})}$. Montrons qu'une des variétés envisagées satisfait

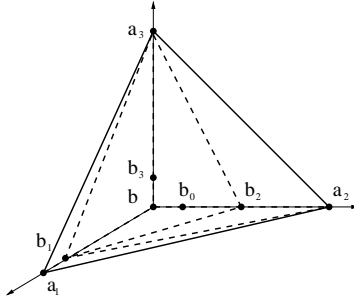
$$(VI.15) \quad \left| \frac{\widehat{h}(X_{\mathcal{A}, \alpha})}{\deg(X_{\mathcal{A}, \alpha})} - \nu \right| < n^2 \frac{\widehat{\mu}_1(X_{\mathcal{A}, \alpha})}{\deg(X_{\mathcal{A}})^{\frac{1}{n}}} \leq \varepsilon_2 n^2 \widehat{\mu}_1(X_{\mathcal{A}, \alpha}) \leq \varepsilon_2 n^2 \mu_1 .$$

On choisit $i \in \{1, \dots, n\}$ tel que

$$ik_0 + k_i + \dots + k_n \leq \frac{\nu}{\log(\xi)} \leq (i+1)k_0 + k_{i+1} + \dots + k_n$$

et on pose $b_0 = e_i$, $b_j := (m-1)e_j$ pour $j = 1, \dots, i-1$, $b_i := [\lambda m]e_i$ et $b_j := e_j$ pour $j = i+1, \dots, n$, où $\lambda \in [0, 1]$ satisfait $\frac{\nu}{\log(\xi)} = (1-\lambda)(ik_0 + k_i + \dots + k_n) + \lambda((i+1)k_0 + k_{i+1} + \dots + k_n)$. Pour $n = 3$ on a une figure du type montré ci-dessous.

Notons $\mathcal{V} := \text{Vol}_n(0, b_1, \dots, b_{i-1}, a_i, \dots, a_n)$ et K un corps de définition de $X_{\mathcal{A}, \alpha}$, on vérifie que la hauteur $\widehat{h}(X_{\mathcal{A}, \alpha}) = \sum_{v|\infty} \frac{[K_v:\mathbf{Q}_v]}{[K:\mathbf{Q}]} e_{\tau_{\alpha v}}(X_{\mathcal{A}})$ se réduit à ses contributions pour les places



archimédiennes qui valent chacune

$$e_{\tau_{\alpha v}}(X_{\mathcal{A}}) = (n+1)! \int_{Q_{\mathcal{A}}} \vartheta_{\mathcal{A}, \tau_{\alpha v}}(u) du .$$

On décompose cette intégrale en trois morceaux dont les deux premiers se calculent exactement (l'intégrale d'une fonction linéaire sur un simplexe est égale au volume du simplexe multiplié par la valeur moyenne de la fonction) :

$$\begin{aligned} \frac{(n+1)}{\mathcal{V}} \int_{\text{Conv}(b_1, \dots, b_i, a_i, \dots, a_n)} \vartheta_{\mathcal{A}, \tau_{\alpha v}}(u) du &= \left(1 - \frac{[\lambda m]}{m}\right) (ik_0 + k_i + \dots + k_n) \log(\xi) \\ \frac{(n+1)}{\mathcal{V}} \int_{\text{Conv}(0, b_1, \dots, b_i, a_{i+1}, \dots, a_n)} \vartheta_{\mathcal{A}, \tau_{\alpha v}}(u) du &= \frac{[\lambda m]}{m} ((i+1)k_0 + k_{i+1} + \dots + k_n) \log(\xi) \end{aligned}$$

tandis que le dernier, qui est une intégrale sur un polytope qui n'est pas un simplexe, s'estime brutalement

$$0 \leq \frac{(n+1)}{\mathcal{V}} \int_{Q_{\mathcal{A}} \setminus \text{Conv}(0, b_1, \dots, b_{i-1}, a_i, \dots, a_n)} \vartheta_{\mathcal{A}, \tau_{\alpha v}}(u) du \leq (n+1) \left(\left(\frac{m}{m-1}\right)^{i-1} - 1 \right) k_0 \log(\xi) .$$

Comme $0 \leq \lambda - \frac{[\lambda m]}{m} < \frac{1}{m}$ et $n! \mathcal{V} = (m-1)^{i-1} m^{n-i+1} = \left(\frac{m-1}{m}\right)^{i-1} \deg(X_{\mathcal{A}, \alpha})$, on déduit de (VI.14) le résultat cherché en sommant les expressions ci-dessus. On a ainsi

$$\begin{aligned} \left| \frac{\widehat{h}(X_{\mathcal{A}, \alpha})}{\deg(X_{\mathcal{A}, \alpha})} - \nu \right| &< \widehat{\mu}_1(X_{\mathcal{A}, \alpha}) \left((n+1) \left(1 - \left(\frac{m-1}{m}\right)^{i-1}\right) + \frac{1}{m} \left(\frac{m-1}{m}\right)^{i-1} \right) \\ &< \frac{(n+1)(i-1)+1}{m} \cdot \widehat{\mu}_1(X_{\mathcal{A}, \alpha}) \leq n^2 \frac{\widehat{\mu}_1(X_{\mathcal{A}, \alpha})}{\deg(X_{\mathcal{A}, \alpha})^{\frac{1}{n}}} . \end{aligned}$$

□

Cet exemple montre que l'encadrement (VI.12) est optimal déjà dans le cas des variétés toriques, en toute dimension et pour toute configuration des minimums $\widehat{\mu}_1(X), \dots, \widehat{\mu}_{n+1}(X)$, lorsque le degré de X est assez grand. Toutefois notre exemple présente une codimension minimale $N - n = 2n + 2$ de l'ordre de la dimension de la variété produite. La question se pose donc de savoir ce qu'il en est pour les variétés de petite codimension. Dans le cas des hypersurfaces toriques (codimension 1) on a le résultat suivant qui laisse ouverte la possibilité de raffinements de (VI.12) en petites codimensions.

Proposition VI.3. — Soit $X_{\mathcal{A}, \alpha} \subset \mathbf{P}^{n+1}$ une hypersurface torique, définie sur $\overline{\mathbf{Q}}$, et $x^{b_+} - \lambda x^{b_-}$ une équation homogène de degré $\|b_+\|_1 = \|b_-\|_1 = \deg(X_{\mathcal{A}, \alpha})$, alors

$$\frac{\widehat{h}(X_{\mathcal{A}, \alpha})}{\deg(X_{\mathcal{A}, \alpha})} = \widehat{\mu}^{\text{ess}}(X_{\mathcal{A}, \alpha}) = \frac{h((1 : \lambda))}{\deg(X_{\mathcal{A}, \alpha})} , \quad \widehat{\mu}_2(X_{\mathcal{A}, \alpha}) = \dots = \widehat{\mu}_{n+1}(X_{\mathcal{A}, \alpha}) = 0 .$$

Démonstration. — Les faces de dimension $< n$ de $Q_{\mathcal{A}}$ sont des simplexes ce qui entraîne la nullité des minimums essentiels des variétés toriques associées à ces faces, et donc des minimums $\widehat{\mu}_j(X_{\mathcal{A}, \alpha})$ pour $j > 1$.

Les contributions des places archimédiennes à la hauteur normalisée d'une hypersurface sont égales aux mesures de Mahler des conjuguées d'une équation primitive. Dans les notations de la proposition II.1 on a donc (voir [PS04], suite de l'exemple III.7)

$$\widehat{h}(X_{\mathcal{A},\alpha}) = h((1 : \alpha^b)) = h((\alpha^{b+} : \alpha^{b-})) \leq \deg(X_{\mathcal{A},\alpha}) \widehat{h}(\alpha) .$$

En choisissant $\beta \in X_{\mathcal{A},\alpha}^\circ$ de hauteur normalisée aussi proche de $\widehat{\mu}^{\text{ess}}(X_{\mathcal{A},\alpha})$ que l'on veut on a $X_{\mathcal{A},\alpha} = X_{\mathcal{A},\beta}$, puis $\frac{\widehat{h}(X_{\mathcal{A},\alpha})}{\deg(X_{\mathcal{A},\alpha})} \leq \widehat{h}(\beta) \leq \widehat{\mu}^{\text{ess}}(X_{\mathcal{A},\alpha}) + \varepsilon$ pour tout $\varepsilon > 0$ et l'égalité voulue résulte de (VI.12), car $\widehat{\mu}_j(X_{\mathcal{A},\alpha}) = 0$ pour $j \neq 1$. \square

Remarque VI.4. — *Les liens entre la hauteur normalisée et les minimums successifs dans le cas où l'espace ambiant est une variété abélienne A sont plus simples : soit $\alpha + B$ le translaté d'une sous-variété abélienne B de A . On vérifie facilement (avec le même raisonnement que celui conduisant à la formule (VI.13))*

$$\widehat{\mu}^{\text{ess}}(\alpha + B) = \widehat{\mu}^{\text{abs}}(\alpha + B) ,$$

et donc $\widehat{\mu}_i(\alpha + B) = \widehat{\mu}^{\text{ess}}(\alpha + B)$ pour tout i . On déduit alors des estimations (VI.12) les égalités

$$\frac{\widehat{h}(\alpha + B)}{\deg(\alpha + B)} = (n+1) \widehat{\mu}^{\text{ess}}(\alpha + B) = \widehat{\mu}_1(\alpha + B) + \cdots + \widehat{\mu}_{n+1}(\alpha + B) .$$

Ceci n'est pas du tout le cas pour les variétés toriques, cette différence tenant au fait que les translatés de sous-tores ne sont pas des ensembles fermés.

On explicite maintenant les estimations qui découlent du théorème V.1.

Lemme VI.5. — *Soit $\mathcal{A} \in (\mathbf{Z}^n)^{N+1}$ tel que $L_{\mathcal{A}} = \mathbf{Z}^n$ et $\alpha \in (\overline{\mathbf{Q}}^\times)^{N+1}$, alors si $F_0(Q_{\mathcal{A}})$ désigne l'ensemble des sommets de $Q_{\mathcal{A}}$ on a :*

$$\widehat{h}(\alpha) - n \widehat{h}(\alpha_j^{-1} : a_j \in F_0(Q_{\mathcal{A}})) \leq \frac{\widehat{h}(X_{\mathcal{A},\alpha})}{\deg(X_{\mathcal{A},\alpha})} \leq (n+1) \widehat{h}(\alpha) .$$

Démonstration. — On déduit de la proposition IV.3

$$e_{\tau_{\alpha_v}}(X_{\mathcal{A}}) \leq (n+1)! \log \|\alpha\|_v \text{Vol}_n(Q_{\mathcal{A}}) ,$$

et donc $\widehat{h}(X_{\mathcal{A},\alpha}) \leq (n+1)! \text{Vol}_n(Q_{\mathcal{A}}) \widehat{h}(\alpha) = (n+1) \deg(X_{\mathcal{A},\alpha}) \widehat{h}(\alpha)$.

Posons $\mu_v := \min_{a \in F_0(Q_{\mathcal{A}})} \max_{i: a_i = a} (\log |\alpha_i|_v)$ et \mathcal{Q} l'enveloppe convexe dans \mathbf{R}^{N+1} des points $(a_i, \log |\alpha_i|_v)$ et (a_i, μ_v) , $i = 0, \dots, N$, on a

$$\begin{aligned} e_{\tau_{\alpha_v}}(X_{\mathcal{A}}) &= (n+1)! \text{Vol}_{n+1}(\mathcal{Q}) + (n+1)! \mu_v \text{Vol}_n(Q_{\mathcal{A}}) \\ &\geq (n+1)! \frac{1}{n+1} (\log \|\alpha\|_v - \mu_v) \text{Vol}_n(Q_{\mathcal{A}}) + (n+1)! \mu_v \text{Vol}_n(Q_{\mathcal{A}}) \\ &\geq n! \log \|\alpha\|_v \text{Vol}_n(Q_{\mathcal{A}}) + n n! \mu_v \text{Vol}_n(Q_{\mathcal{A}}), \end{aligned}$$

et donc

$$\widehat{h}(X_{\mathcal{A},\alpha}) \geq \deg(X_{\mathcal{A},\alpha}) \left(\widehat{h}(\alpha) - n \widehat{h}(\alpha_j^{-1} : a_j \in F_0(Q_{\mathcal{A}})) \right) ,$$

car $\sum_{v \in M_K} \frac{[K_v : \mathbf{Q}_v]}{[K : \mathbf{Q}]} (-\mu_v) \leq \widehat{h}(\alpha_j^{-1} : a_j \in F_0(Q_{\mathcal{A}}))$. \square

En remplaçant éventuellement le point α par un point de $X_{\mathcal{A},\alpha}^\circ$ de hauteur aussi proche de $\hat{\mu}^{\text{ess}}(X_{\mathcal{A},\alpha})$ que l'on veut, on retrouve simplement à partir du lemme VI.5 la majoration de (VI.12) en partant de l'observation (VI.13).

On peut se demander s'il existe un point de $X_{\mathcal{A},\alpha}$ qui réalise le minimum essentiel de la hauteur normalisée sur cette variété. En effet, $X_{\mathcal{A},\alpha}^\circ$ étant translatée de sous-groupe algébrique l'ensemble des translatés de n'importe lequel de ses points par les points de torsion de son stabilisateur est un ensemble Zariski dense dans $X_{\mathcal{A},\alpha}$. Ainsi, la hauteur de n'importe quel point de $X_{\mathcal{A},\alpha}^\circ$ majore-t-elle le minimum essentiel de cette variété, la question est donc de savoir s'il existe un point de $X_{\mathcal{A},\alpha}^\circ$ de hauteur minimale. Dans le même ordre d'idée, existe-t-il un point de $X_{\mathcal{A},\alpha}$ dont la hauteur normalisée soit égale au quotient $\frac{\widehat{h}(X_{\mathcal{A},\alpha})}{\deg(X_{\mathcal{A},\alpha})}$?

VII. Poids de Chow et hauteur des diviseurs monomiaux

Dans ce paragraphe on considère l'intersection d'une variété torique avec un diviseur monomial de \mathbf{P}^N . Le théorème de Bézout pour les poids de Chow (Théorème 0.2 de l'introduction et Théorème IV.2) se traduit dans ce cas en une décomposition polyédrale du polytope $Q_{\mathcal{A},\tau}$, qui peut se démontrer directement. Comme conséquence on obtient, en combinant avec le théorème V.1, un théorème de Bézout arithmétique normalisé, toujours pour le cas d'une variété torique intersectée par un diviseur monomial.

Soit $\mathcal{A} \in (\mathbf{Z}^n)^{N+1}$ tel que $L_{\mathcal{A}} = \mathbf{Z}^n$ et $b \in \mathbf{Z}^{N+1}$, notons $X_{\mathcal{A}} \subset \mathbf{P}^N$ et $\text{div}(x^b) \in \text{Div}(\mathbf{P}^N)$ la variété torique et le diviseur monomial associés ; par la suite on s'intéresse au cycle intersection

$$X_{\mathcal{A}} \cdot \text{div}(x^b) \in Z_{n-1}(\mathbf{P}^N)$$

découpé sur $X_{\mathcal{A}}$ par le monôme x^b . Grâce à la décomposition en orbites (I.4) on voit que le support de ce cycle est contenu dans la réunion des orbites de codimension 1 :

$$\bigcup_{F \in \mathcal{F}_{n-1}(Q_{\mathcal{A}})} X_{\mathcal{A},F} ,$$

où $X_{\mathcal{A},F} \subset \mathbf{P}^N$ désigne la clôture de Zariski du tore $X_{\mathcal{A},F}^\circ$ associé à l'hyperface F . Explicitons les multiplicités $m(X_{\mathcal{A}} \cdot \text{div}(x^b); X_{\mathcal{A},F})$ correspondantes.

Soit $H_F \subset \mathbf{R}^n$ l'hyperplan d'appui de la face F , considérons le \mathbf{Z} -module $L_{\mathcal{A},F} \subset \mathbf{Z}^n$ engendré par les différences des éléments de $\mathcal{A} \cap F$. C'est un sous-réseau de $H_{F,\mathbf{Z}} := H_F \cap \mathbf{Z}^n$ d'indice

$$i(\mathcal{A}; F) := [H_{F,\mathbf{Z}} : L_{\mathcal{A},F}] .$$

Rappelons que $v_F \in \mathbf{Z}^n$ désigne le plus petit vecteur entier, orthogonal à H_F et dirigé vers l'intérieur de $Q_{\mathcal{A}}$; fixons également un point quelconque $a_F \in F$. On pose $M_{\mathcal{A}}(b) = b_0 a_0 + \dots + b_N a_N \in \mathbf{Z}^n$ et $D := \deg(x^b) = \sum_{j=0}^N b_j$.

Lemme VII.1. — *On a*

$$X_{\mathcal{A}} \cdot \text{div}(x^b) = \sum_{F \in \mathcal{F}_{n-1}(Q_{\mathcal{A}})} \langle M_{\mathcal{A}}(b) - D a_F, v_F \rangle i(\mathcal{A}; F) [X_{\mathcal{A},F}]$$

où la somme porte sur les hyperfaces F de $Q_{\mathcal{A}}$, $\langle \cdot, \cdot \rangle$ désigne le produit scalaire ordinaire de \mathbf{R}^n et $[X_{\mathcal{A},F}]$ le cycle associé à la variété $X_{\mathcal{A},F}$. En particulier, $X_{\mathcal{A},F}$ est composante de $X_{\mathcal{A}} \cdot \text{div}(x^b)$ si et seulement si $\frac{1}{D} M_{\mathcal{A}}(b)$ appartient à H_F .

Démonstration. — Par linéarité on peut se ramener au cas où $b = e_i$ est un des vecteurs de la base standard de \mathbf{R}^{N+1} pour un certain $0 \leq i \leq N$, c.-à-d. $x^b = x_i$. Fixons une hyperface F et soit $a_j \in F$ un de ses sommets. On considère le cône

$$\sigma := \{u \in \mathbf{R}^n : \langle u, a_k - a_j \rangle \geq 0 \text{ pour } k = 0, \dots, N\} \subset \mathbf{R}^n,$$

c.-à-d. le dual de l'angle de $Q_{\mathcal{A}}$ en a_j formé des vecteurs normaux aux hyperplans appuyés sur $Q_{\mathcal{A}}$ en a_j , dirigés vers $Q_{\mathcal{A}}$. Soit U_{σ} la variété torique affine correspondante, définie comme

$$U_{\sigma} := \text{Spec}(\overline{\mathbf{Q}}[S_{\sigma}])$$

où $S_{\sigma} := \sigma^{\vee} \cap \mathbf{Z}^n$ est le semi-groupe des points entiers dans l'angle de $Q_{\mathcal{A}}$ en a_j [Ful93, § 1.3]. Considérons encore l'application naturelle $N : U_{\sigma} \rightarrow (X_{\mathcal{A}})_{x_j} \subset (\mathbf{P}^N)_{x_j}$ donnée par l'inclusion d'algèbres

$$\overline{\mathbf{Q}}[(X_{\mathcal{A}})_{x_j}] = \overline{\mathbf{Q}}[s^{a_0 - a_j}, \dots, s^{a_N - a_j}] \hookrightarrow \overline{\mathbf{Q}}[S_{\sigma}] = \overline{\mathbf{Q}}[U_{\sigma}] .$$

La variété U_{σ} est *normale* car S_{σ} est un semi-groupe saturé, et de ce fait N est le morphisme de normalisation de la carte affine $(X_{\mathcal{A}})_{x_j}$, voir [Stu96, Cor. 13.6].

Soit ρ l'arête du cône σ duale de la face F , notons $V(\rho)$ la clôture dans U_{σ} de l'orbite correspondante [Ful93, § 3.1]. On a un diagramme commutatif

$$\begin{array}{ccc} \overline{\mathbf{Q}}[(X_{\mathcal{A}})_{x_j}] & \xrightarrow{N^*} & \overline{\mathbf{Q}}[U_{\sigma}] \\ \downarrow & & \downarrow \\ \overline{\mathbf{Q}}[(X_{\mathcal{A},F})_{x_j}] & \hookrightarrow & \overline{\mathbf{Q}}[V(\rho)] \end{array}$$

qui implique $N^{-1}(X_{\mathcal{A},F}) = V(\rho)$ et $\deg(N|_{V(\rho)}) = [H_{F,\mathbf{Z}} : L_{\mathcal{A},F}] = i(\mathcal{A}; F)$. Le monôme $\chi := N^*(x_i) = s^{a_i - a_j} \in \overline{\mathbf{Q}}[s_1^{\pm 1}, \dots, s_n^{\pm 1}]$ définit une fonction rationnelle $U_{\sigma} \dashrightarrow \overline{\mathbf{Q}}$. On a $\text{ord}_{X_{\mathcal{A},F}}(x_i) = \deg(N|_{V(\rho)}) \text{ord}_{V(\rho)}(\chi)$ puisque U_{σ} est normal [Ful84, Exerc. 1.2.3.]. On en déduit

$$\begin{aligned} \text{long}_{\overline{\mathbf{Q}}[(X_{\mathcal{A},F})_{x_j}]}(\overline{\mathbf{Q}}[(X_{\mathcal{A}})_{x_j}]/(x_i)) &= \text{ord}_{X_{\mathcal{A},F}}(x_i) \\ &= \deg(N|_{V(\rho)}) \text{ord}_{V(\rho)}(\chi) = i(\mathcal{A}; F) \text{ord}_{V(\rho)}(\chi) . \end{aligned}$$

Finalement, le lemme de [Ful93, § 3.3, p. 61] entraîne $\text{ord}_{V(\rho)}(\chi) = \langle a_i - a_j, v_F \rangle$ car v_F est le générateur du semi-groupe $\rho \cap \mathbf{Z}^n \cong \mathbf{N}$, d'où

$$m(X_{\mathcal{A}} \cdot \text{div}(x_i); X_{\mathcal{A},F}) = \text{long}_{\overline{\mathbf{Q}}[(X_{\mathcal{A},F})_{x_j}]}(\overline{\mathbf{Q}}[(X_{\mathcal{A}})_{x_j}]/(x_i)) = \langle a_i - a_j, v_F \rangle i(\mathcal{A}; F) .$$

□

Le théorème de Bézout géométrique s'écrit

$$\begin{aligned} (VII.16) \quad D \deg(X_{\mathcal{A}}) &= \deg(X_{\mathcal{A}} \cdot \text{div}(x^b)) \\ &= \sum_{F \in \mathbf{F}_{n-1}(Q_{\mathcal{A}})} \langle M_{\mathcal{A}}(b) - D a_F, v_F \rangle i(\mathcal{A}, F) \deg(X_{\mathcal{A},F}) \end{aligned}$$

et se traduit en une décomposition du volume du polytope $Q_{\mathcal{A}}$. Pour simplifier on ne considère ici que le cas d'une variable x_i , c.-à-d. $b_i = e_i$. On a $\deg(X_{\mathcal{A}}) = n! \text{Vol}_n(Q_{\mathcal{A}})$ et

$$\deg(X_{\mathcal{A},F}) = \frac{(n-1)!}{i(\mathcal{A}; F) \|v_F\|_2} \text{Vol}_{n-1}(F) ,$$

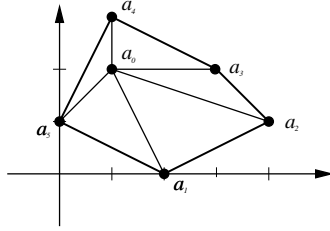
à cause de la normalisation de la forme volume $\mu_{\mathcal{A} \cap F}$ sur H_F et du fait $\text{Vol}_{n-1}(H_F/H_{F,\mathbf{Z}}) = \|v_F\|_2$, conséquence de la formule de Brill-Gordan. On a $M_{\mathcal{A}}(b) = a_i$ et

$$\text{dist}(a_i, H_F) = \varepsilon(a_i, F) \frac{\langle a_i - a_F, v_F \rangle}{\|v_F\|_2} ,$$

où $\varepsilon(a_i, F) = +1$ si a_i et $Q_{\mathcal{A}}$ sont d'un même côté de l'hyperplan H_F et $\varepsilon(a_i, F) = -1$ sinon. L'identité (VII.16) ci-dessus (multipliée par $1/n!$) se traduit ainsi en la décomposition de volume ($D = 1$)

$$\begin{aligned} \text{Vol}_n(Q_{\mathcal{A}}) &= \sum_{F \in \mathcal{F}_{n-1}(Q_{\mathcal{A}})} \frac{\varepsilon(a_i, F)}{n} \text{dist}(a_i, H_F) \text{Vol}_{n-1}(F) \\ &= \sum_{F \in \mathcal{F}_{n-1}(Q_{\mathcal{A}})} \varepsilon(a_i, F) \text{Vol}_n(\text{Conv}(F, a_i)) . \end{aligned}$$

La figure suivante illustre cette décomposition, pour $\mathcal{A} := \{(1, 2), (2, 0), (4, 1), (3, 2), (1, 3), (0, 1)\}$ et $b := (1, 0, 0, 0, 0)$ (donc $M_{\mathcal{A}}(b) = (1, 2) = a_0$).



Considérons à présent les poids de Chow, soit $\tau = (\tau_0, \dots, \tau_N) \in (\mathbf{N}^\times)^{N+1}$ et $Q_{\mathcal{A}, \tau} := \text{Conv}((a_0, \tau_0), \dots, (a_N, \tau_N)) \subset \mathbf{R}^{n+1}$ le polytope associé au couple (\mathcal{A}, τ) , dont la *toiture* $E_{\mathcal{A}, \tau}$ (c.-à-d. l'enveloppe supérieure) s'envoie bijectivement sur $Q_{\mathcal{A}}$ par la projection standard $\mathbf{R}^n \times \mathbf{R} \rightarrow \mathbf{R}^n$. On appelle *pan* de la toiture toute face de dimension n de $E_{\mathcal{A}, \tau}$. De même, on appelle *mur* toute face de la *maison* $\mathcal{M}_{\mathcal{A}, \tau} := \text{Conv}(Q_{\mathcal{A}, \tau} \cup (Q_{\mathcal{A}} \times \{0\}))$ de dimension n se projetant sur une face de dimension $n - 1$ de $Q_{\mathcal{A}}$.

Le vecteur τ induit une *décomposition polyédrale cohérente* $\text{DPC}_\tau(Q_{\mathcal{A}})$ du polytope de base $Q_{\mathcal{A}}$. Les faces S de dimension n de cette décomposition sont en correspondance avec les pans de la toiture; pour $S \in \text{DPC}_\tau(Q_{\mathcal{A}})$ on écrit $\text{Pan}(S) \in \mathcal{F}_n(E_{\mathcal{A}, \tau})$ pour le pan correspondant.

Comme conséquence de la décomposition en orbites de la variété *bi-projective* $X_{\mathcal{A}, \tau} \subset \mathbf{P}^1 \times \mathbf{P}^N$ on vérifie que les points de $X_{\mathcal{A}, \tau}$ contenus dans l'hyperplan $\{(0 : 1)\} \times \mathbf{P}^N$ correspondent nécessairement aux faces de la forme $F(b) = (F_0, F_1)$ avec $F_0 = \{(0, 1)\}$ et $F_1 \in \mathcal{F}_n(E_{\mathcal{A}, \tau})$. On voit ainsi qu'il y a bijection entre les pans de $E_{\mathcal{A}, \tau}$ et les orbites de $X_{\mathcal{A}, \tau}$ contenues dans l'hyperplan $\{(0 : 1)\} \times \mathbf{P}^N$, en particulier le support de $X_{\mathcal{A}, \tau} \cdot (\{(0 : 1)\} \times \mathbf{P}^N)$ est contenu dans

$$\bigcup_{P \in \mathcal{F}_n(E_{\mathcal{A}, \tau})} X_{\mathcal{A}, \tau, P} .$$

L'identification $\iota : \mathbf{P}^N \rightarrow \{(0 : 1)\} \times \mathbf{P}^N \subset \mathbf{P}^1 \times \mathbf{P}^N$ met en correspondance le cycle $X_{\mathcal{A}, \tau} \cdot (\{(0 : 1)\} \times \mathbf{P}^N)$ et la variété initiale $\text{init}_\tau(X_{\mathcal{A}})$, on en déduit qu'il y a bijection entre les composantes de $\text{init}_\tau(X_{\mathcal{A}})$ et les pans de $E_{\mathcal{A}, \tau}$ (ou les faces de dimension n de la décomposition $\text{DPC}_\tau(Q_{\mathcal{A}})$).

En fait, d'après [Stu94, formule (27), page 222] (voir aussi [KSZ92, Thm. 5.3.]) on a

$$\text{init}_\tau(X_{\mathcal{A}}) = \sum_{P \in \mathcal{F}_n(E_{\mathcal{A}, \tau})} [H_{P, \mathbf{Z}} : L_{\mathcal{A}, \tau, P}] [X_{\mathcal{A}, \tau, P}] .$$

Pour chaque pan P on note d'une part $(v_P, w_P) \in \mathbf{Z}^n \times \mathbf{Z}$ le plus petit vecteur entier orthogonal au plan d'appui $H_P \subset \mathbf{R}^{n+1}$ tel que $w_P < 0$, et d'autre part $i(\mathcal{A}, \tau; P) := [H_{P, \mathbf{Z}} : L_{\mathcal{A}, \tau, P}]$. On note aussi (a_P, τ_P) un point quelconque de P .

Lemme VII.2. — Soit $P \in F_n(E_{\mathcal{A},\tau})$ un pan de la toiture de $Q_{\mathcal{A},\tau}$ alors, avec les mêmes notations que dans le lemme VII.1,

$$m(X_{\mathcal{A},\tau} \cdot \operatorname{div}(\lambda_\tau^*(x^b)); X_{\mathcal{A},\tau,P}) = (\langle M_{\mathcal{A}}(b) - D a_P, v_P \rangle - D \tau_P w_P) i(\mathcal{A}, \tau; P) ,$$

où $\lambda_\tau^*(x^b) = t_0^{b_0 \tau_0 + \dots + b_N \tau_N} x^b$.

Démonstration. — Cette démonstration est tout à fait analogue à celle du lemme VII.1, on en indique les pas principaux.

Par linéarité on peut se ramener au cas où $b = e_i$ est un des vecteurs de la base standard de \mathbf{R}^{N+1} , c.-à-d. $x^b = x_i$. Soit (a_j, τ_j) un sommet quelconque du pan P , on se place dans la carte affine $\mathbf{A}^1 \times \mathbf{A}^N \subset \mathbf{P}^1 \times \mathbf{P}^N$ correspondant à $t_1 \neq 0$ et $x_j \neq 0$ (puisqu'on veut calculer une multiplicité le long d'une sous-variété de $Z(t_0)$). Dans cette carte, l'application monomiale s'écrit

$$\mathbf{G}_m \times \mathbf{G}_m^n \rightarrow \mathbf{A}^1 \times \mathbf{A}^N \hookrightarrow \mathbf{P}^1 \times \mathbf{P}^N , \quad (t, s) \mapsto (t, t^{\tau_j - \tau_0} s^{a_0 - a_j}, \dots, t^{\tau_j - \tau_N} s^{a_N - a_j})$$

et donc l'algèbre de la carte affine de $X_{\mathcal{A},\tau}$ est

$$\overline{\mathbf{Q}}[(X_{\mathcal{A},\tau})_{t_1, x_j}] = \overline{\mathbf{Q}}[t, t^{\tau_j - \tau_0} s^{a_0 - a_j}, \dots, t^{\tau_j - \tau_N} s^{a_N - a_j}] .$$

La normalisation de cette algèbre correspond au cône

$$\sigma := \{(u, v) \in \mathbf{R}^n \times \mathbf{R} : \langle u, a_k - a_j \rangle + v(\tau_j - \tau_k) \geq 0, v \geq 0, \langle u, a_k - a_j \rangle \geq 0, k = 0, \dots, N\} .$$

Le reste de la démonstration se continue de la même manière que celle du lemme VII.1, en considérant la normalisation de $(X_{\mathcal{A},\tau})_{t_1, x_j}$ donnée par le semi-groupe des points entiers $S_\sigma := \sigma^\vee \cap \mathbf{Z}^n$.

L'hyperplan $H_P \subset \mathbf{R}^{n+1}$ est un plan d'appui du cône σ^\vee , car P est un pan. Il définit donc une arête ρ du cône σ , dont le semi-groupe $\rho \cap \mathbf{Z}^n$ est engendré par $(v_P, -w_P)$. Comme $\operatorname{div}(\lambda_\tau^*(x_i)) = \operatorname{div}(t^{\tau_j} s^{a_i - a_j})$ sur la carte considérée, on en conclut

$$\begin{aligned} m(X_{\mathcal{A},\tau} \cdot \operatorname{div}(\lambda_\tau^*(x_i)); X_{\mathcal{A},\tau,P}) &= \langle (a_i, 0) - (a_j, -\tau_j), (v_P, -w_P) \rangle i(\mathcal{A}, \tau; P) \\ &= (\langle a_i - a_j, v_P \rangle - \tau_j w_P) i(\mathcal{A}, \tau; P) . \end{aligned}$$

□

Soit $\chi := t^{D\tau_P} s^{M_{\mathcal{A}}(b) - a_P} \in \overline{\mathbf{Q}}[t^{\pm 1}, s_1^{\pm 1}, \dots, s_n^{\pm 1}]$, c'est une fonction rationnelle sur $X_{\mathcal{A},\tau}$ ayant $\operatorname{div}(\lambda_\tau^*(x^b))$ comme diviseur dans la carte $t_1 \neq 0, x_j \neq 0$. Considérons le sous-groupe à un paramètre $\nu : \mathbf{G}_m \rightarrow \mathbf{G}_m^{n+1}, z \mapsto (z^{v_{P,1}}, \dots, z^{v_{P,n}}, z^{-w_P})$, on vérifie aisément

$$\operatorname{ord}_z(\chi \circ \nu) = \langle M_{\mathcal{A}}(b) - a_P, v_P \rangle - D \tau_P w_P = \operatorname{ord}_{V(\rho)}(\chi) .$$

Le théorème IV.2 entraîne

$$(VII.17) \quad e_\tau(X_{\mathcal{A}} \cdot \operatorname{div}(x^b)) = D e_\tau(X_{\mathcal{A}}) - \sum_{Y \in \operatorname{Irr}(\operatorname{init}_\tau(X_{\mathcal{A}}))} m(X_{\mathcal{A},\tau} \cdot \operatorname{div}(\lambda_\tau^*(x^b)); \iota(Y)) \cdot \deg(Y) .$$

Montrons comment cette identité se traduit en une décomposition de l'intégrale de la fonction $\vartheta_{\mathcal{A},\tau} : Q_{\mathcal{A}} \rightarrow \mathbf{R}$ paramétrant la toiture $E_{\mathcal{A},\tau}$. On a d'abord

$$e_\tau(X_{\mathcal{A}}) = (n+1)! \int_{Q_{\mathcal{A}}} \vartheta_{\mathcal{A},\tau}(u) du_1 \cdots du_n = (n+1)! \operatorname{Vol}_{n+1}(\mathcal{M}_{\mathcal{A},\tau})$$

puis, par le lemme VII.1 il vient, en posant $a := \frac{1}{D} M_{\mathcal{A}}(b)$,

$$\frac{1}{D} e_\tau(X_{\mathcal{A}} \cdot \operatorname{div}(x^b)) = \sum_{F \in F_{n-1}(Q_{\mathcal{A}})} \langle a - a_F, v_F \rangle i(\mathcal{A}; F) e_\tau(X_{\mathcal{A},F}) ,$$

et pour chaque face F de $Q_{\mathcal{A}}$

$$e_{\tau}(X_{\mathcal{A},F}) = \frac{n!}{i(\mathcal{A};F) \|v_F\|_2} \int_F \vartheta_{\mathcal{A},\tau} d\mu_{n-1} = \frac{n!}{i(\mathcal{A};F) \|v_F\|_2} \text{Vol}_n(M(F))$$

où $M(F) \subset \mathbf{R}^{n+1}$ désigne le mur de la maison $\mathcal{M}_{\mathcal{A},\tau}$ au-dessus de F . Ainsi

$$\begin{aligned} \langle a - a_F, v_F \rangle i(\mathcal{A};F) e_{\tau}(X_{\mathcal{A},F}) &= n! \varepsilon(a, F) \text{dist}(a, F) \text{Vol}_n(M(F)) \\ &= (n+1)! \varepsilon(a, F) \text{Vol}_{n+1}(\text{Conv}(M(F), (a, 0))) . \end{aligned}$$

Finalement, soit Y une composante irréductible de $\text{init}_{\tau}(X_{\mathcal{A}})$ puis $S \in \text{DPC}_{\tau}(Q_{\mathcal{A}})$ et $P := \text{Pan}(S) \in \mathbf{F}_n(E_{\mathcal{A},\tau})$ les faces correspondantes dans la subdivision et dans la toiture respectivement, on a

$$\deg(Y) = \frac{n!}{i(\mathcal{A};S)} \text{Vol}_n(S) = \frac{n!}{i(\mathcal{A},\tau;P) \|(v_P, w_P)\|_2} \text{Vol}_n(P) .$$

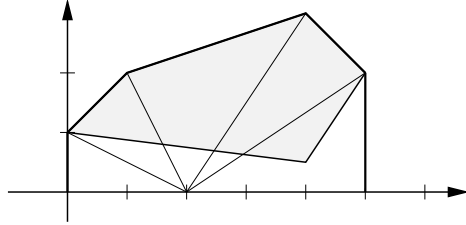
Le lemme VII.2 entraîne alors

$$\begin{aligned} \frac{1}{D} m(X_{\mathcal{A},\tau} \cdot \text{div}(\lambda_{\tau}^*(x^b)); \iota(Y)) \deg(Y) &= \frac{n!}{\|(v_P, w_P)\|_2} \langle (a, 0) - (a_P, \tau_P), (v_P, w_P) \rangle \text{Vol}_n(P) \\ &= (n+1)! \varepsilon(a, P) \text{Vol}_{n+1}(\text{Conv}(P, (a, 0))) . \end{aligned}$$

En regroupant ces calculs on voit que l'identité (VII.17) (multipliée par $\frac{1}{D(n+1)!}$) se réduit à la décomposition

$$\begin{aligned} \text{Vol}_{n+1}(\mathcal{M}_{\mathcal{A},\tau}) &= \sum_{F \in \mathbf{F}_{n-1}(Q_{\mathcal{A}})} \varepsilon(a, F) \text{Vol}_{n+1}(\text{Conv}(M(F), (a, 0))) \\ &\quad + \sum_{P \in \mathbf{F}_n(E_{\mathcal{A},\tau})} \varepsilon(a, P) \text{Vol}_{n+1}(\text{Conv}(P, (a, 0))) \end{aligned}$$

qui est illustrée par la figure suivante (pour $b = e_i$ et $a = M_{\mathcal{A}}(b) = a_i$) :



Soit $S \in \text{DPC}_{\tau}(Q_{\mathcal{A}})$, posons $\theta_{\tau,S}(b) \in \mathbf{R}$ l'unique réel tel que

$$\left(a, \frac{1}{D} \theta_{\tau,S}(b) \right) \in (\{a\} \times \mathbf{R}) \cap H_{\text{Pan}(S)} .$$

Le lemme suivant explicite cette quantité.

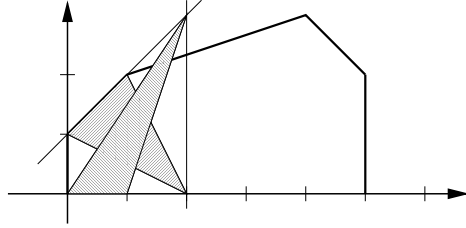
Lemme VII.3. — Soit $S \in \text{DPC}_{\tau}(Q_{\mathcal{A}})$ et $a_{j_0}, \dots, a_{j_n} \in S$ des vecteurs affinement indépendants. Posons $b \in \mathbf{Z}^{N+1}$, $D := \sum_{j=0}^N b_j$ et $a := \frac{1}{D} M_{\mathcal{A}}(b) \in \mathbf{Z}^n$, alors

$$\theta_{\tau,S}(b) \begin{vmatrix} 1 & \dots & 1 \\ a_{j_0,1} & \dots & a_{j_n,1} \\ \vdots & \ddots & \vdots \\ a_{j_0,n} & \dots & a_{j_n,n} \end{vmatrix} = -D \begin{vmatrix} 1 & \dots & 1 & 1 \\ a_{j_0,1} & \dots & a_{j_n,1} & a_1 \\ \vdots & \ddots & \vdots & \vdots \\ a_{j_0,n} & \dots & a_{j_n,n} & a_n \\ \tau_{j_0} & \dots & \tau_{j_n} & 0 \end{vmatrix} .$$

En triangulant S par des simplexes et en utilisant la relation entre déterminant et volume, on peut réécrire ceci sous la forme :

$$\theta_{\tau,S}(b) \text{Vol}_n(S) = (n+1) D \varepsilon(a, \text{Pan}(S)) \text{Vol}_{n+1}(\text{Conv}(\text{Pan}(S), (a, 0))) ,$$

qui s'interprète comme l'égalité des volumes montrés dans la figure suivante :



Démonstration. — C'est un calcul direct de l'intersection des espaces linéaires $H_{\text{Pan}(S)}$ et $\{a\} \times \mathbf{R}$: on doit avoir $\theta_{\tau,S}(b) = \sum_{i=0}^n \mu_i \tau_{j_i}$ où $\mu = (\mu_0, \dots, \mu_n) \in \mathbf{R}^{n+1}$ est la seule solution du système linéaire

$$D = \sum_{i=0}^n \mu_i \quad , \quad D a = \sum_{i=0}^n \mu_i a_{j_i} .$$

On résout ce système par les formules de Cramer et on trouve ainsi

$$\theta_{\tau,S}(b) \begin{vmatrix} 1 & \dots & 1 \\ a_{j_0,1} & \dots & a_{j_n,1} \\ \vdots & \ddots & \vdots \\ a_{j_0,n} & \dots & a_{j_n,n} \end{vmatrix} = \sum_{i=0}^n \tau_{j_i} \begin{vmatrix} 1 & \dots & 1 & D & 1 & \dots & 1 \\ a_{j_0,1} & \dots & a_{j_{i-1},1} & D a_1 & a_{j_{i+1},1} & \dots & a_{j_n,1} \\ \vdots & \ddots & \vdots & \vdots & \vdots & \ddots & \vdots \\ a_{j_0,n} & \dots & a_{j_{i-1},n} & D a_n & a_{j_{i+1},n} & \dots & a_{j_n,n} \end{vmatrix} ,$$

qui est le développement du déterminant dans le membre droite de l'énoncé, par rapport à la dernière ligne. □

Ceci permet d'écrire l'identité (VII.17) de la façon suivante :

Théorème VII.4. — Soit $\mathcal{A} \in (\mathbf{Z}^n)^{N+1}$, $b \in \mathbf{Z}^{N+1}$ et $\tau = (\tau_0, \dots, \tau_N) \in \mathbf{R}^{N+1}$, posons $D := \sum_{j=0}^N b_j$, alors

$$e_{\tau}(X_{\mathcal{A}} \cdot \text{div}(x^b)) = D e_{\tau}(X_{\mathcal{A}}) - n! \sum_{S \in \text{DPC}_{\tau}(Q_{\mathcal{A}})} \theta_{\tau,S}(b) \text{Vol}_n(S)$$

où la seconde somme porte sur les faces S de dimension n de la décomposition polyédrale $\text{DPC}_{\tau}(Q_{\mathcal{A}})$.

Avec la notation IV.9 on peut encore écrire cet énoncé sous la forme :

$$w_{X_{\mathcal{A}},\tau}(x^b) = - \sum_{S \in \text{DPC}_{\tau}(Q_{\mathcal{A}})} \theta_{\tau,S}(b) \cdot \frac{\text{Vol}_n(S)}{\text{Vol}_n(Q_{\mathcal{A}})} ,$$

dont on vérifie, par continuité et homogénéité, la validité pour tout $\tau \in \mathbf{R}^{N+1}$. Dans le cas où $\text{div}(x^b)$ est effectif, c.-à-d. quand $b \in \mathbf{N}^{N+1}$, on a $\theta_{\tau,S}(b) \geq \tau_0 b_0 + \dots + \tau_N b_N$ pour tout $S \in \text{DPC}_{\tau}(Q_{\mathcal{A}})$ à cause de la concavité de la toiture du polytope $Q_{\mathcal{A},\tau}$, et donc

$$(\tau_0 b_0 + \dots + \tau_N b_N) \text{deg}(X_{\mathcal{A}}) \leq n! \sum_{S \in \text{DPC}_{\tau}(Q_{\mathcal{A}})} \theta_{\tau,S}(b) \text{Vol}_n(S) ,$$

ainsi

$$(VII.18) \quad e_\tau(X_{\mathcal{A}} \cdot \text{div}(x^b)) \leq D e_\tau(X_{\mathcal{A}}) - (\tau_0 b_0 + \cdots + \tau_N b_N) \deg(X_{\mathcal{A}}) .$$

Alternativement, on peut démontrer cette inégalité par application directe du théorème 0.2 et de l'exemple IV.1.

Soit maintenant $\mathcal{A} \in (\mathbf{Z}^n)^{N+1}$ et $\alpha \in (\overline{\mathbf{Q}}^\times)^{N+1}$, en prenant $\tau := \tau_{\alpha v}$ pour toutes les places v de K et en sommant sur v l'égalité du théorème VII.4 avec les coefficients $\frac{[K_v:\mathbf{Q}_v]}{[K:\mathbf{Q}]}$, on obtient un *théorème de Bézout arithmétique normalisé* (i.e. donnant le comportement de la hauteur normalisée) pour l'intersection d'une variété torique avec un diviseur monomial.

Corollaire VII.5. — Soit K un corps de nombres, $\mathcal{A} \in (\mathbf{Z}^n)^{N+1}$ tel que $L_{\mathcal{A}} = \mathbf{Z}^n$, $\alpha \in (K^\times)^{N+1}$ et $b \in \mathbf{Z}^{N+1}$. Posons $D := \sum_{j=1}^N b_j$, alors

$$\begin{aligned} \widehat{h}(X_{\mathcal{A},\alpha} \cdot \text{div}(x^b)) &= D \widehat{h}(X_{\mathcal{A},\alpha}) - n! \sum_{v \in M_K} \frac{[K_v:\mathbf{Q}_v]}{[K:\mathbf{Q}]} \sum_{S \in \text{DPC}_{\tau_{\alpha v}}(Q_{\mathcal{A}})} \theta_{\tau_{\alpha v},S}(b) \text{Vol}_n(S) \\ &= D \widehat{h}(X_{\mathcal{A},\alpha}) + \sum_{v \in M_K} \frac{[K_v:\mathbf{Q}_v]}{[K:\mathbf{Q}]} w_{X_{\mathcal{A},\tau_{\alpha v}}}(x^b) \cdot \deg(X_{\mathcal{A},\alpha}) . \end{aligned}$$

En particulier, si $\text{div}(x^b)$ est effectif (i.e. $b \in \mathbf{N}^{N+1}$) on a $\widehat{h}(X_{\mathcal{A},\alpha} \cdot \text{div}(x^b)) \leq D \widehat{h}(X_{\mathcal{A},\alpha})$.

Démonstration. — Pour étaler la dernière inégalité on a par (VII.18)

$$\begin{aligned} \widehat{h}(X_{\mathcal{A},\alpha} \cdot \text{div}(x^b)) &\leq D \widehat{h}(X_{\mathcal{A},\alpha}) - \sum_{v \in M_K} \frac{[K_v:\mathbf{Q}_v]}{[K:\mathbf{Q}]} (\tau_{\alpha v,0} b_0 + \cdots + \tau_{\alpha v,N} b_N) \cdot \deg(X_{\mathcal{A}}) \\ &\leq D \widehat{h}(X_{\mathcal{A},\alpha}) \end{aligned}$$

car $\sum_{v \in M_K} \frac{[K_v:\mathbf{Q}_v]}{[K:\mathbf{Q}]} \tau_{\alpha v,i} = 0$ pour $i = 0, \dots, N$, grâce à la formule du produit. □

Références

- [AD02] F. Amoroso, S. David, *Minoration de la hauteur normalisée dans un tore*, J. Inst. Math. Jussieu **2** (2003) 335-381.
- [AD04] F. Amoroso, S. David, *Le problème de Lehmer en dimension supérieure. II*, Prépubl. Univ. Caen, 2004.
- [Aud91] M. Audin, *The topology of torus actions on symplectic manifolds*, Progress in Math. **93**, Birkhäuser, 1991.
- [Ber87] D. Bertrand, *Lemmes de zéros et nombres transcendants*, in Séminaire Bourbaki 1985/86. Astérisque **145 & 146** (1987) 21-44.
- [BP88] D. Bertrand, P. Philippon, *Sous-groupes algébriques de groupes algébriques commutatifs*, Illinois J. Math. **32** (1988) 263-280.
- [Cha89] M. Chardin, *Une majoration de la fonction de Hilbert et ses conséquences pour l'interpolation algébrique*, Bull. Soc. Math. France **117** (1989) 305-318.
- [CP99] M. Chardin, P. Philippon, *Régularité et interpolation*, J. Algebraic Geom. **8** (1999) 471-481.
- [Cox01] D. Cox, *Minicourse on toric varieties*, notes d'un cours donné à l'Univ. Buenos Aires en Juillet 2001. Téléchargeable à <http://www.amherst.edu/~dacox/>.
- [CLO98] D. Cox, J. Little, D. O'Shea, *Using algebraic geometry*, Graduate Texts in Math. **185**, Springer, 1998.
- [Dav03] S. David, *On the height of subvarieties of groups varieties*, à paraître dans J. Ramanujan Math. Soc..

- [DP99] S. David, P. Philippon, *Minorations des hauteurs normalisées des sous-variétés des tores*, Ann. Scuola Norm. Sup. Pisa **28** (1999) 489-543.
- [Don02] S.K. Donaldson, *Scalar curvature and stability of toric varieties*, J. Differential Geom. **62** (2002) 289-349.
- [ES96] D. Eisenbud, B. Sturmfels, *Binomial ideals*, Duke Math. J. **84** (1996) 1-45.
- [EF02] J.-H. Evertse, R.G. Ferretti, *Diophantine inequalities on projective varieties*, Internat. Math. Res. Not. **25** (2002) 1295-1330.
- [Fer03] R.G. Ferretti, *Diophantine approximation and toric deformations*, Duke Math. J. **118** (2003) 493-522.
- [Ful84] W. Fulton, *Intersection theory*, Ergeb. Math. Grenzgeb. (3) **2**, Springer, 1984.
- [Ful93] W. Fulton, *Introduction to toric varieties*, Ann. Math. Studies **131**, Princeton Univ. Press, 1993.
- [GKZ94] I.M. Gelfand, M.M. Kapranov, A.V. Zelevinsky, *Discriminants, resultants and multidimensional determinants*, Birkhäuser, 1994.
- [KSZ92] M.M. Kapranov, B. Sturmfels, A.V. Zelevinsky, *Chow polytopes and general resultants*, Duke Math. J. **67** (1992) 189-218.
- [Mum77] D. Mumford, *Stability of projective varieties*, Enseign. Math. **23** (1977) 39-110.
- [PS04] P. Philippon, M. Sombra, *Hauteur normalisée des variétés toriques projectives*, E-print téléchargeable à math.NT/0406476.
- [Rat04] N. Ratazzi, *Minoration de la hauteur de Néron-Tate pour les points et les sous-variétés : variations sur le problème de Lehmer*, Thèse de Doctorat, Univ. Paris VI, 2004.
- [Rem01a] G. Rémond, *Élimination multihomogène*, chapitre 5 de *Introduction to algebraic independence theory*, Lecture Notes in Math. **1752** (2001) 53-81.
- [Rem01b] G. Rémond, *Géométrie diophantienne multiprojective*, chapitre 7 de *Introduction to algebraic independence theory*, Lecture Notes in Math. **1752** (2001) 95-131.
- [Sch91] W.M. Schmidt, *Diophantine approximation and diophantine equations*, Lecture Notes in Math. **1467**, Springer, 1991.
- [Stu94] B. Sturmfels, *On the Newton polytope of the resultant*, J. Algebraic Combin. **3** (1994), 207-236.
- [Stu96] B. Sturmfels, *Gröbner bases and convex polytopes*, Amer. Math. Soc., 1996.
- [Zha95] S.-W. Zhang, *Small points and adelic metrics*, J. Algebraic Geom. **4** (1995) 281-300.

PATRICE PHILIPPON, Institut de Mathématiques de Jussieu - U.M.R. 7586 du CNRS, Géométrie et Dynamique,
Case 7012, 2 place Jussieu, 75251 Paris Cedex 05, France.

E-mail : pph@math.jussieu.fr

Url : <http://www.math.jussieu.fr/~pph/>

MARTÍN SOMBRA, Université de Lyon 1, Laboratoire de Mathématiques Appliquées de Lyon, 21 avenue Claude Bernard, 69622 Villeurbanne Cedex, France.

E-mail : sombra@maply.univ-lyon1.fr

Url : <http://maply.univ-lyon1.fr/~sombra/>